

**Universitätsbibliothek Karlsruhe**

**IV E 2434**

**Engesser, Friedrich**

**Sammlung von Scripten**

**Band 1**

**1907/18**

Engesser: Sammlung von Sonderabdrucken.  
Sammlung von Skripten und Vorträgen

1

Sätze aus der Festigkeitslehre.



UB KARLSRUHE  
IVE  
2434  
1

(1907)

IV E 2434  
v



## Sätze aus der Festigkeitslehre.

Jeder Körper erleidet unter der Einwirkung äußerer Kräfte Formänderungen, welche nach Aufhören der Einwirkung mehr oder weniger wieder verschwinden (elastische und bleibende Formänderung). Die bleibende Formänderung ist verhältnismäßig um so kleiner, je kleiner die totale Formänderung war. Die Eigenschaft, vermöge welcher ein Körper seine ursprüngliche Gestalt nach Aufhören der Kräfteeinwirkung wieder annimmt, heißt Elastizität.

Vollkommen elastische Körper, d. h. solche, bei welchen die bleibende Formänderung = 0, finden sich in der Natur nicht vor. dagegen gibt es eine Reihe technisch wichtiger Stoffe (Eisen, Holz etc.), welche innerhalb einer gewissen Grenze der totalen Formänderung (Elastizitätsgrenze) so geringe bleibende Formänderungen aufweisen, daß letztere für praktische Zwecke = gesetzt werden können. (Elastische Körper im gewöhnlichen Sinne).

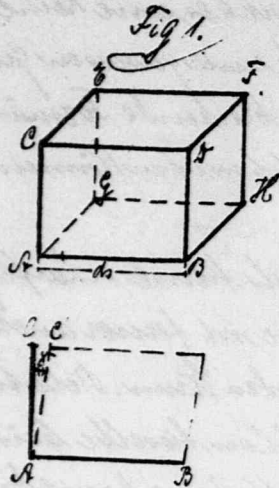
[Anmerkung. Die Elastizitätsgrenze ist hiernach keine scharfe Grenze, sondern von dem Urmasse des Beobachters abhängig. Sie ist ferner auch keine feste Grenze, da sie künstlich erhöht und erniedrigt werden kann. Belastungen über die ursprüngliche Elastizitätsgrenze hinaus erhöhen dieselbe bei Stahl und Eisen; dasselbe findet durch den Härteprocess statt. Eine Erniedrigung der Elastizitätsgrenze wird bewirkt, wenn man das Material abwechselnd im entgegengesetzten Sinne in belastet oder dasselbe ausglüht.]

Erreicht die Formänderung eine gewisse Größe (die Festigkeitsgrenze), so wird die Widerstandsfähigkeit (Festigkeit) des Körpers an der betreffenden Stelle überwinden. In der Regel tritt hierbei eine Lösung des Zusammenhanges (Bruch des Körpers) ein; derselben bleibt der Zusammenhang gerätet, wie z. B. beim Zerquetschen weicher Körper. — Die Formänderung hängt nicht nur von der Größe des Körpers und von dem Kräfteplan (Größe, Richtung, Angriffspunkt) der äußeren Kräfte ab, sondern auch von der Art der Einwirkung der Kräfte. Wenn die Einwirkung plötzlich beginnt oder aufhört, oder wenn die Größen der Kräfte nicht sehr allmählich schwanken, so gerät der Körper in Schwingungen, einer periodischen Folge wechselnder Formänderungszustände, entsprechend, welche allmählich abnehmen und einem Ruhezustand Platz machen. Die dem letzteren entsprechenden Formänderungen (stat. Formänderungen) sind kleiner als die bei den Schwingungen eintretenden Größten der Formänderung (dynamische Formänderungen). Ferner werden die Formänderungen beeinflusst durch die Dauer der Einwirkung (nehmen mit der Dauer zu, namentlich bei organischen Stoffen) und durch offenbarige Wiederholung der Einwirkung.

Die statische Festigkeitslehre setzt den Ruhezustand des Körpers als eingetretten voraus und rechnet von dem Einfluss der Dauer, desselben und der oftmaligen Wiederholung der Kräfte einwirkungen ab. Die Ergebnisse derselben müssen daher für den praktischen Gebrauch, entsprechend den abweichenden Verhältnissen, der Wirklichkeit, nachträglich noch modifiziert werden.

Allgemeine Beziehungen.

Die Formänderung eines Körpers ist bestimmt, sobald die Formänderung seiner kleinsten Teile (Elemente) bekannt ist. Zu diesem Zwecke denken wir uns Elemente von parallelepipedischer Gestalt. Die Formänderung derselben äußert sich als Änderung der Seitenlängen und der ursprünglich rechten Winkel, wobei die Elemente so klein angenommen werden, dass die Seitenflächen als parallel und eben bleibend angesehen werden können.



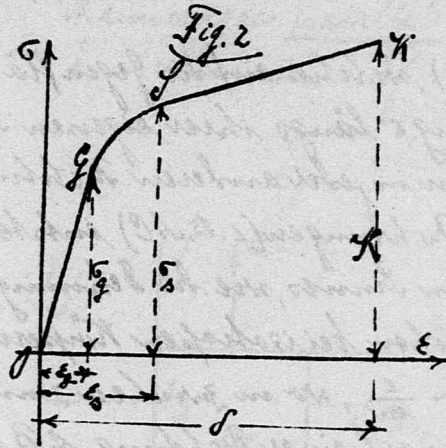
Die auf die Längeneinheit bezogene Änderung einer Kante AB wird mit  $\epsilon$  bezeichnet und heißt Dehnung der Strecke AB. Der Dehnung im Punkte A nach der Richtung AB.

$$\epsilon = \frac{\Delta AB}{AB} = \frac{\Delta l}{l_0} \text{ (unbenannte Zahl).}$$

Die Änderung eines Kantenwinkels CAB wird mit  $\gamma$  bezeichnet,  $\gamma = \frac{CC'}{CB}$ , und heißt Schiebung der Fläche CAGE oder der Fläche ABHG im Punkte A. Sie gibt an, um wieviel sich zwei gegenüberliegende Flächen auf die Entfernungseinheit gegeneinander verschoben.

Bezeichnet man mit  $P$  die Resultante der inneren Kräfte, welche von der einen Seite her auf die Fläche ACEG wirken, so nennt man die auf die Flächeneinheit bezogene Kraft  $\bar{p} = \frac{P}{ACEG} = \frac{P}{F} = \frac{kg}{cm^2}$  die Spannung der Fläche ACEG im Punkte A (best. im Punkte C, G oder E, welche Punkte jedoch im Grenzfall mit Punkt A zusammenfallen). Hierbei wird in der Regel, die Fläche ACEG in ihrer ursprünglichen Größe (vor der Formänderung) eingeführt. Zerlegt man die Spannung  $\bar{p}$  in zwei Komponenten, senkrecht und parallel der Fläche ACEG, so heißt erstere die Normalspannung  $\sigma$  im Punkte A der Fläche ACEG, letztere die Tangentialspannung  $\tau$  im Punkte A der Fläche ACEG. Die Normalspannung kann entweder Zugspannung (positiv) oder Druckspannung (negativ) sein, je nachdem ihr Sinn von der Fläche ab oder gegen die Fläche zu gerichtet ist. Absolutspannungen von Zug werden mit  $\sigma^+$ , von Druck mit  $\sigma^-$  bezeichnet.

Vorhergemäss findet zwischen der Normalspannung  $\sigma$  und der zugehörigen Dehnung  $\epsilon$  eine bestimmte Beziehung statt. Für den Kern eines auf zwei Gegenflächen ACEG mit BDFH des Parallelepipedes eine von Null allmählich anwachsende Normalspannung  $\sigma$  wirkend, wodurch die Seite AB entsprechende Dehnungen  $\epsilon$  erleidet. Trägt man die Spannungen  $\sigma$  als Ordinaten zu den zugehörigen Dehnungen  $\epsilon$  als Abscissen auf, so erhält eine die Abhängigkeit von  $\epsilon$  und  $\sigma$  darstellende Linie (Arbeitslinie).



Bei Schmiedeeisen (siehe Fig. 2) verläuft dieselbe anfangs gerade bis G (Proportionalitätsgrenze); dann schließt sich im allgemeinen ein steil geneigtes Kurvenstück, welches bei L (Streckgrenze, Bruchgrenze) in ein flaches Kurvenstück oder in eine schwach geneigte Gerade übergeht. Innerhalb der Strecke OG sind  $\sigma$  und  $\epsilon$  proportional (Hook's Gesetz, Elastizitätsgesetz).

$$\frac{\sigma}{\epsilon} = E \quad \sigma = E \cdot \epsilon \quad \epsilon = \frac{\sigma}{E} \quad 1)$$

Die Größe E, welche den Wert des konstanten Verhältnisses  $\frac{\sigma}{\epsilon}$  angibt, heißt Elastizitätsmodul. Da  $\epsilon$  eine unbenannte Zahl ist, bedeutet  $E = \frac{\sigma}{\epsilon}$  eine Spannung. Bis zur Proportionalitätsgrenze sind die bleibenden Dehnungen äusserst gering, so dass man für praktische Zwecke annehmen kann, dieselbe falle mit der Elastizitätsgrenze zusammen. Der entsprechende Wert der Spannung heißt Grenzwert ( $= \sigma_g$ ). Von der Streckgrenze an (Spannung  $= \sigma_s$ ) wachsen die Dehnungen sehr rasch; es findet ein Uebereinandergleiten (Fließen) des Materials statt, bis mit  $\epsilon = \delta$  und  $\sigma = K$  (Festigkeit) die Zerstörung eintritt. — Ähnlich wie Schmiedeeisen verhalten sich verschiedene andere Baustoffe (Stahl, Holz, u. s. w.), namentlich besitzen dieselben eine Elastizitäts- bezw. Proportionalitätsgrenze. Bei Gußeisen jedoch fehlt letztere; das Verhältnis  $\frac{\sigma}{\epsilon}$  ist hier durchgehend veränderlich und nimmt mit wachsendem  $\sigma$  ab, bezgl. bei Stein und Beton.

Der Inhalt der Arbeitsfigur gibt die Arbeit an, welche die Einheitsheit des Materials bis zu einer bestimmten Dehnung  $\epsilon$  bezw. Spannung  $\sigma$  leistet,

$$A = \int_0^{\epsilon} \sigma d\epsilon.$$

Innerhalb der Elastizitätsgrenze, wo  $\epsilon = \frac{\sigma}{E}$ , wird  $A = \int_0^{\sigma} \frac{\sigma}{E} d\sigma = \frac{\sigma^2}{2E}$ .  
 einer Dehnung bis zur Elastizitätsgrenze entspricht die Grenzarbeit  $A_g = \frac{\sigma_g^2}{2E}$ .

Die Brucharbeit erhält man, wenn man die Integration bis zur Bruchdehnung ausdehnt:

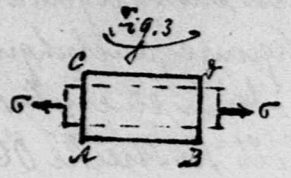
$$A_b = \int_0^{\delta} \sigma d\epsilon.$$

Dieselbe wird vielfach als Maß für die Fähigkeit angenommen. Die Arbeitslinien für Zug und Druck sind im allgemeinen verschieden; innerhalb der Elastizitätsgrenze stimmen sie wenigstens bei Schmiedeeisen, Stahl und annähernd auch bei Holz, miteinander überein. Der Elastizitätsmodul ist hier für Zug und Druck gleich groß.

Bei isotropen Körpern hängt die Form der Arbeitslinie (d. h. auch E,  $\sigma_g$ ,  $\delta$ , K,  $\delta$ ) nur vom Material, bei homogenen Körpern vom Material und Richtung AB ab.  
Isotrope Körper = Körper, die in allen Punkten, nach allen Richtungen gleich beschaffen sind, wie gegossene Metalle, annähernd auch Bleche.  
Homogene Körper = Körper, die zwar in allen Punkten gleich, aber nach verschiedenen Richtungen verschieden beschaffen sind, wie gewalzte Metallstäbe.

Holz

Die Normalspannung  $\sigma$  (siehe Fig. 3), welche auf die Gegenflächen AC und BD wirkt, erzeugt ausser der Dehnung  $\epsilon$  längs ihrer eigenen Richtung auch noch Dehnungen in jeder anderen Richtung. In den zu  $\sigma$  senkrechten Richtungen (z. B. AB) entstehen Dehnungen entgegengesetzten Sinnes, wie die Dehnung  $\epsilon$ . Dieselben haben nach Versuchen bei isotropen Körpern innerhalb der Elastizitätsgrenze eine Grösse  $-\frac{\epsilon}{m}$ , wo  $m$  zwischen 3 und 4 liegt. Hieraus folgt, dass die totale Dehnung nach einer Richtung AB nicht nur von der Spannung  $\sigma$  auf die zugehörigen Gegenflächen, sondern auch von den streuzigen Spannungen  $\sigma_1$  und  $\sigma_2$  auf die beiden andern Gegenflächenpaare abhängt. Dieselbe ist zu setzen:



$$\epsilon) = \epsilon - \frac{\epsilon_1 + \epsilon_2}{m} = \frac{\sigma}{E} - \frac{\sigma_1 + \sigma_2}{E m} = \frac{1}{E} \left( \sigma - \frac{\sigma_1 + \sigma_2}{m} \right) \quad 2.$$

Eine gleichgrosse Dehnung könnte auch durch eine einzige, in der Richtung AB wirkende Spannung hervorgerufen werden, deren Grösse wäre.

$$\bar{\sigma} = \sigma - \frac{\sigma_1 + \sigma_2}{m}$$

Eine derartige gedachte Spannung  $\bar{\sigma}$ , welche die wirklichen Spannungen bezüglich der gesamten Dehnung von AB zu ersetzen geeignet wäre, heisst Erstspannung.

In ähnlicher Weise, wie zwischen der Dehnung und Normalspannung, findet auch zwischen Schiebung  $\gamma$  und Tangentialspannung  $\tau$  eine bestimmte Beziehung statt, welche sich durch die Arbeitslinie für Schub darstellen lässt (Abszissen =  $\gamma$ , Ordinaten =  $\tau$ ). Dieselbe zeigt entsprechender Weise bis zur Proportionalitätsgrenze geradlinigen Verlauf. Das konstante Verhältnis zwischen  $\tau$  und  $\gamma$  auf dieser Strecke wird Schubelastizitätsmodul genannt und mit  $G$  bezeichnet.

$$G = \frac{\tau}{\gamma}; \quad \tau = G \cdot \gamma; \quad \gamma = \frac{\tau}{G} \quad 3.$$

Bei isotropem Material ist

$$G = \frac{E \cdot m}{2(m+1)}$$

und schwankt zwischen  $\frac{2}{5} E$  bis  $\frac{2}{3} E$  entsprechend den Werten  $m=3$  und  $m=4$ .

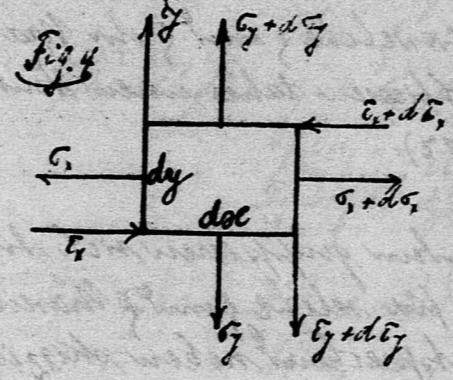
Beziehungen zwischen den Spannungen

Die Seiten des betrachteten Elementarparallelepipedes im Innern eines belasteten Körpers, deren Längen  $dx, dy$  u.  $dz$ , seien parallel den Achsen eines rechtwinkligen Koordinatensystems gerichtet. Für allgemeinen Nutzen auf die 6 Seitenebenen derselben  $\sigma$  Spannungen best. nach Zerlegung derselben normal und parallel zu den Ebenen, sechs Normalspannungen und sechs Tangentialspannungen. Wir betrachten hier nur den für uns wichtigsten Fall, dass die Spannungen senkrecht zur  $xy$  Ebene = 0, d. h. also alle

Spannungen parallel der  $xy$  Ebene gerichtet sind. (ebenes Kraftsystem). Es sei nun nur auf die vier Seitenebenen die Spannungen (siehe Fig. 4):

$$\sigma_x \text{ und } \tau_y, \quad \sigma_x + d\sigma_x \text{ und } \tau_y + d\tau_y$$

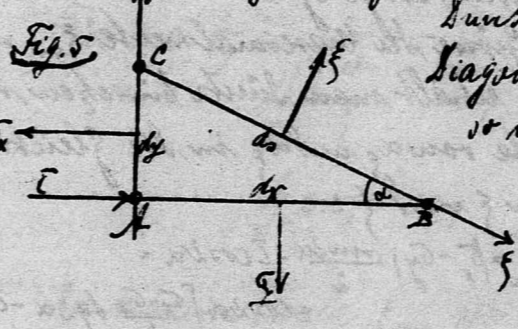
$$\sigma_y \text{ und } \tau_x, \quad \sigma_y + d\sigma_y \text{ und } \tau_x + d\tau_x$$



Das im Schwerpunkt des Parallelepipedes angreifende Eigen Gewicht kann als kleine Grösse höherer Ordnung ausser Acht bleiben. Die Seitenlängen  $dx$  und  $dy$  sind im Folgenden gleich, der Leichtigkeit gesch. Das Gleichgewicht der Kräfte gegen Drehung um den Mittelpunkt ergibt unter Vernachlässigung kleiner Gröszen höherer Ordnung:

$$(\tau_y dx) dy = (\tau_x dy) dx, \text{ d. h. } \tau_x = \tau_y = \tau \dots \dots \dots 4.$$

oder: die Tangentialspannungen zweier aufeinander senkrecht stehender Ebenen sind gleich gross.



Durchschneidet man das Parallelepiped durch einen Diagonalschnitt (siehe Fig. 5) senkrecht zur  $xy$  Ebene, so muss für Erhaltung des Gleichgewichts an der Schnittfläche  $ds$  eine Normalkraft  $\xi ds$  und eine Tangentialkraft  $\zeta ds$  angebracht werden, wo  $\xi$  u.  $\zeta$  die entsprechende Normal- und Tangentialspannung bezeichnen. Für

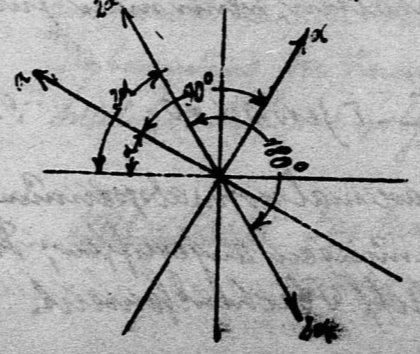
Bestimmung der Gröszen  $\xi$  und  $\zeta$  stellen die zwei Gleichgewichtsbedingungen:

a)  $0 = \xi ds - \sigma_x dy \cos \alpha + \sigma_y dx \sin \alpha + \tau dx \cos \alpha - \tau dy \sin \alpha =$  Summe aller Kräfte  
 woraus, da  $\frac{dx}{ds} = \cos \alpha, \frac{dy}{ds} = \sin \alpha$   
 $\xi = \sigma_x \sin^2 \alpha \cos \alpha - \sigma_y \sin \alpha \cos \alpha - \tau (\cos^2 \alpha - \sin^2 \alpha)$   
 $= (\sigma_x - \sigma_y) \frac{\sin 2\alpha}{2} - \tau \cos 2\alpha;$  parallel  $ds=0$  von der Kraft das Produkt Spannung mal Fläche resultiert.

b)  $0 = \zeta ds - \sigma_x dy \sin \alpha - \sigma_y dx \cos \alpha + \tau dx \sin \alpha + \tau dy \cos \alpha$  Summe aller Kräfte  
 woraus  $\zeta = \sigma_x \sin^2 \alpha + \sigma_y \cos^2 \alpha - \tau \sin 2\alpha \cos \alpha$   
 $= \sigma_x \frac{1 - \cos 2\alpha}{2} + \sigma_y \frac{1 + \cos 2\alpha}{2} - \tau \sin 2\alpha$  normal  $ds=0$

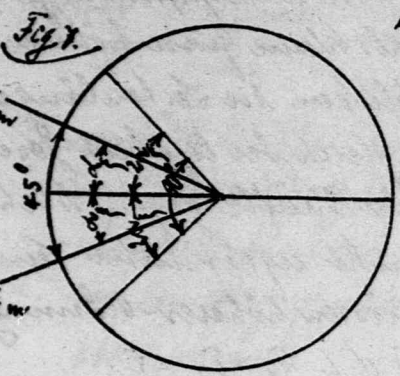
$\xi$  wird bei variablem  $\alpha$  zum Maximum für  $\frac{d\xi}{d\alpha} = 0$  d. h.  
 $(\sigma_x - \sigma_y) \cos 2\alpha + 2\tau \sin 2\alpha = 0$   
 $\tan 2\alpha = \frac{\sigma_x - \sigma_y}{2\tau} \dots \dots \dots 5.$

Hieraus folgen zwei Werte von  $2\alpha$ , die um  $180^\circ$  voneinander verschieden sind, und somit zwei Werte von  $\alpha$ , die um  $90^\circ$  voneinander verschieden sind.



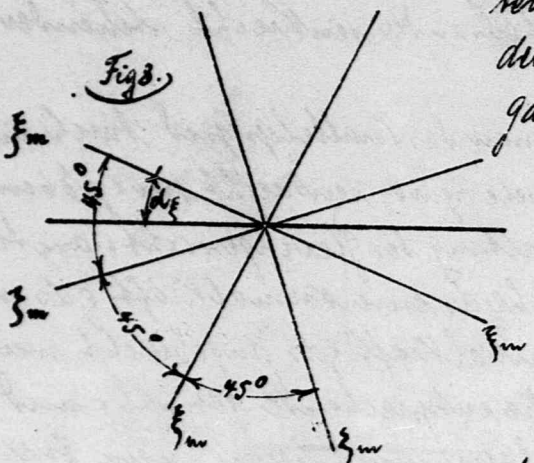
$\xi$  wird zum Maximum für  
 $\frac{d\xi}{d\alpha} = 0$   
 d. h.  $\sigma_x \sin 2\alpha - \sigma_y \sin 2\alpha - 2\tau \cos 2\alpha = 0$   
 $\tan 2\alpha = \frac{2\tau}{\sigma_x - \sigma_y} \dots \dots \dots 6.$

Hieraus folgen ebenfalls zwei Werte von  $\alpha_\xi$ , die um  $90^\circ$  verschieden sind. Da  $\lg 2\alpha_\xi$  und  $\lg 2\alpha_\xi$  reziproke Werte sind und verschiedene Vorzeichen haben, so sind  $2\alpha_\xi$  und  $2\alpha_\xi$  Komplementwinkel, sie bilden zusammen  $90^\circ$ .



Die Flächenelemente, für welche  $\xi$  und  $\xi$  ihr Maximum erreichen, schließen daher einen Winkel von  $45^\circ$  ein (vgl. Fig. 7).

Nach Vorzeichenen gruppieren sich die Flächenelemente, für welche  $\xi$  und  $\xi$  Maximalwerte erreichen, entsprechend neben skizzierten Diagramm (Fig. 8). Ist für eines derselben der zugehörige Winkel  $\alpha$  berechnet, so ist das ganze Diagramm festgelegt.



Die Größe der Maximalwerte  $\xi_m$  und  $\xi_m$  erhält man durch Einsetzen der Werte von  $\alpha_\xi$  und  $\alpha_\xi$  in die Gleichungen von  $\xi$  und  $\xi$ :

$$\xi_m = (\sigma_x - \sigma_y) \frac{\sin 2\alpha}{2} - \tau \cos 2\alpha = \cos 2\alpha \left[ \frac{\sigma_x - \sigma_y}{2} \lg 2\alpha - \tau \right]$$

$$\text{oder, da } \cos 2\alpha = \frac{1}{1 + \lg^2 2\alpha} = \frac{1}{\sqrt{1 + \frac{(\sigma_x - \sigma_y)^2}{4\tau^2}}}$$

$$\xi_m = \pm \frac{\sqrt{(\sigma_x - \sigma_y)^2 + 4\tau^2}}{4} \dots \dots \dots 7.$$

Es ergeben sich hiernach für die beiden Werte von  $\alpha_\xi$  zwei dem Absolutwert nach gleich große Maximaltangentialspannungen  $\xi_m$ .

$$\xi_m = \frac{\sigma_x + \sigma_y}{2} - \frac{\sigma_x - \sigma_y}{2} \cos 2\alpha - \tau \sin 2\alpha = \frac{\sigma_x + \sigma_y}{2} - \cos 2\alpha \left[ \frac{\sigma_x - \sigma_y}{2} + \tau \lg 2\alpha \right]$$

$$\cos 2\alpha = \frac{1}{\sqrt{1 + \frac{4\tau^2}{(\sigma_x - \sigma_y)^2}}}$$

$$\xi_m = \frac{\sigma_x + \sigma_y}{2} \pm \frac{\sqrt{(\sigma_x - \sigma_y)^2 + 4\tau^2}}{2} = \frac{\sigma_x + \sigma_y}{2} \pm \xi_m \dots \dots \dots 8.$$

Hiernach erhält man für  $\xi_m$  zwei verschieden große Werte, welche den zwei Werten von  $\alpha_\xi$  entsprechen sind mit  $\xi_1$  und  $\xi_2$  bezeichnet werden sollen. Derjenige Wert von  $\xi$ , welcher  $\xi_m$  entspricht, wird erhalten, wenn man für  $\alpha$  den Wert  $\alpha_\xi$  nach Gleichung 6.) einführt.

$$\xi_1 = \left( \frac{\sigma_x - \sigma_y}{2} \lg 2\alpha - \tau \right) \cos 2\alpha = \left( \frac{\sigma_x - \sigma_y}{2} \cdot \frac{2\tau}{\sigma_x - \sigma_y} - \tau \right) \cos 2\alpha = 0 \dots \dots \dots 9.$$

d. h. diejenigen Flächenelemente, welche die Maximalnormalspannung  $\xi_m$  erleiden, werden durch keine Tangentialspannungen angegriffen; die Gesamtspannung steht senkrecht auf dem beschf. Flächenelement.

Derjenige Wert von  $\xi$ , welcher  $\xi_m$  entspricht, ergibt sich nach Einsetzen von  $\alpha_\xi$  nach Gleichung 5. zu:

$$\xi_1 = \frac{\sigma_x + \sigma_y}{2} - \cos 2\alpha \left[ \frac{\sigma_x - \sigma_y}{2} - \tau \lg 2\alpha \right] = \frac{\sigma_x + \sigma_y}{2} - \frac{\tau}{\sqrt{\frac{(\sigma_x - \sigma_y)^2}{4} + \tau^2}} \left[ \frac{\sigma_x - \sigma_y}{2} - \tau \frac{\sigma_x - \sigma_y}{2\tau} \right]$$

also  $\xi_1 = \frac{\sigma_x + \sigma_y}{2} \dots \dots \dots 10.$

Speziell für  $\sigma_y = 0, \sigma_x = \sigma$  wird:

$$\left. \begin{aligned} \lg 2\alpha_\xi &= -\frac{\sigma}{2\tau}; \xi_m = \sqrt{\frac{\sigma^2}{4} + \tau^2} \\ \lg 2\alpha_\xi &= \frac{2\tau}{\sigma}; \xi_m = \frac{\sigma}{2} \pm \sqrt{\frac{\sigma^2}{4} + \tau^2} = \frac{\sigma}{2} \pm \xi_m \end{aligned} \right\} \dots \dots \dots 11.$$

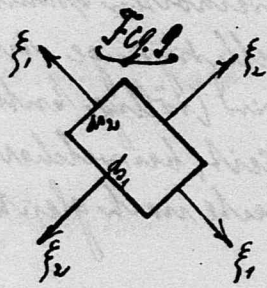
Für  $\sigma_y = 0$  und  $\sigma_x = 0$  wird

$$\left. \begin{aligned} \lg 2\alpha_\xi &= 0; \alpha_\xi = \left\{ \begin{array}{l} 0 \\ \frac{\pi}{2} \end{array} \right\}; \xi_m = \tau \\ \lg 2\alpha_\xi &= \infty; \alpha_\xi = \left\{ \begin{array}{l} \frac{\pi}{4} \\ \frac{3\pi}{4} \end{array} \right\}; \xi_m = \pm \tau \end{aligned} \right\} \dots \dots \dots 12.$$

Für  $\tau = 0, \sigma_y = 0, \sigma_x = \sigma$  wird:

$$\left. \begin{aligned} \lg 2\alpha_\xi &= -\infty; \alpha_\xi = \left\{ \begin{array}{l} \frac{\pi}{2} \\ \frac{3\pi}{2} \end{array} \right\}; \xi_m = \frac{\sigma}{2} \\ \lg 2\alpha_\xi &= 0; \alpha_\xi = \left\{ \begin{array}{l} 0 \\ \frac{\pi}{2} \end{array} \right\}; \xi_m = \left\{ \begin{array}{l} \sigma \\ 0 \end{array} \right\} \end{aligned} \right\} \dots \dots \dots 13.$$

Die Maximalwerte  $\xi_m$  werden Hauptspannungen genannt.



Denken wir uns nun ein Parallelepiped (siehe Fig. 9), dessen parallel zur  $xy$  Ebene gelegene Seiten  $d_1$  und  $d_2$  die Richtungen der Hauptspannungen  $\xi_1$  und  $\xi_2$  beschreiben mögen, so schneidet, wenn  $\xi_1 > \xi_2$ , die Seite  $d_1$  die größte Dehnung.

Spannung:

$$\begin{aligned} (\epsilon) &= \frac{1}{E} \left[ \xi_1 - \frac{\xi_2}{m} \right] \text{ dementsprechend eine Erweite-} \\ (\sigma) &= \xi_1 - \frac{\xi_2}{m} = \frac{\sigma_x + \sigma_y}{2} + \frac{\sqrt{(\sigma_x - \sigma_y)^2 + 4\tau^2}}{2} - \frac{(\sigma_x + \sigma_y)}{2m} + \frac{1}{m} \sqrt{(\sigma_x - \sigma_y)^2 + 4\tau^2} \\ &= \frac{\sigma_x + \sigma_y}{2} \left( 1 - \frac{1}{m} \right) + \frac{\sqrt{(\sigma_x - \sigma_y)^2 + 4\tau^2}}{2} \left( 1 + \frac{1}{m} \right) \\ &= \frac{3}{8} (\sigma_x + \sigma_y) + \frac{5}{8} \sqrt{(\sigma_x - \sigma_y)^2 + 4\tau^2} \text{ für } m = 4 \dots \dots \dots 14. \\ &\quad \text{(Schmelzlinien innerhalb Elastizitätsgrenze)} \\ &= \frac{3}{8} \sigma + \frac{5}{8} \sqrt{4\tau^2 + \sigma^2} \text{ für } \sigma_y = 0, \sigma_x = \sigma \dots \dots \dots 15. \end{aligned}$$

Was die Größen  $\sigma_x, \sigma_y$  und  $\tau$  d.h. die Spannungen von zwei beliebigen zueinander senkrechten Flächenelementen anbelangt, so bedarf es zur deren Bestimmung der Kenntnis vom Belastungsart und Körperform, und ist hinüber auf die folgenden Sonderfälle zu verweisen.

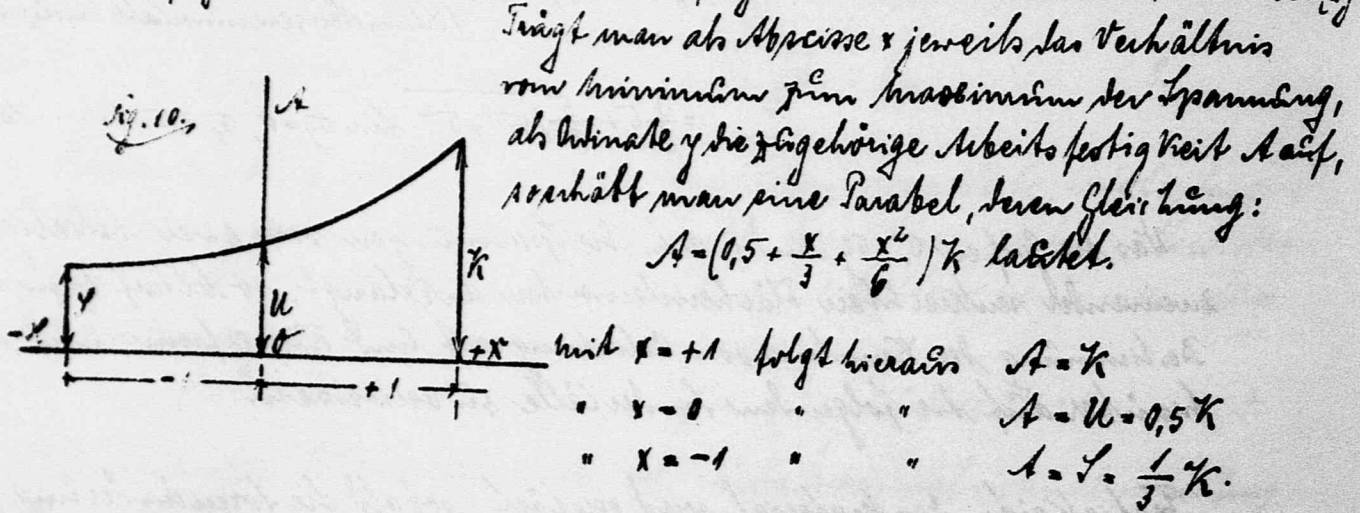
Festigkeit Das Material wird zerstört, sobald die Formänderung (Dehnung oder Schiebung) die Festigkeitsgrenze überschreitet.

Die entsprechende Spannung bezw. Bruchspannung heisst Festigkeit des Materials. Insbesondere nennt man diejenige Tangentialspannung, welche ein Abbrechen bewirkt, Zugfestigkeit, diejenige Normalspannung, welche für sich allein ein Zerschneiden oder Zerbrechen des Materials hervorruft, Druckfestigkeit. Bei isotropem Material sind die Festigkeiten in jedem Punkte nach jeder Richtung gleich gross, bei homogenem Material nach der Richtung verschieden. Ausserdem hängt die Grösse der Festigkeit auch noch von der Wirkungsweise der äusseren Kräfte ab. Am grössten ist dieselbe bei allmählich einwirkender, kurz andauernder ruhiger Belastung; die entsprechenden Werte für  $K'$  (Zug),  $K''$  (Druck),  $S$  (für Schub) werden Tragfestigkeit genannt. Der Bruch des mit jedoch nicht nur durch einwirkende ruhige Belastung, welche  $K'$  und  $S$  übersteigende Spannungen erzeugt, hervorgerufen, sondern auch durch vielfach wiederholte Belastung und Entlastung, wobei keine der entsprechenden Spannungen die Tragfestigkeit erreicht. Je grösser hierbei die Differenzen der Spannungen im belasteten und entlasteten Zustand (Spannungswechsel) sind, desto geringer ist die absolute Grösse der Spannung, welche wiederum dem Bruch beizuführen. (Höhler's Gesetz; Versuche in den Jahren 1857-1870).

Am geringsten ist die absolute Grösse der Spannung (d. h. die Festigkeit), wenn die Spannungen zwischen positiven und negativen wechseln. (Abbrechen von Draht durch Hin- und Herbiegen.)

Man nennt die Festigkeiten bei einwirklich oft wiederholten Spannungswechseln die Arbeitsfestigkeiten  $A$  des Materials. Speziell diejenige Arbeitsfestigkeit, bei welcher die äussere Spannungsgrenze = 0 wird (völlig Entlastung), heisst Druckfestigkeit. Diejenige Arbeitsfestigkeit, bei welcher die äussere Spannungsgrenze negativ und ihrem Absolutwerte nach gleich der oberen Grenze wird, heisst Zugfestigkeit  $L$ .

Nach den wenigen mitgetheilten Resultaten ist bei Schmiedeeisen  $u = ca 0,55 K$ , bei Gußstahl  $u = ca 0,44 K$ , d. h. annähernd  $u = 0,5 K$ . Für die Schwingungsfestigkeit ist bei Schmiedeeisen  $S = ca 0,3 K$ . Das Gesetz, nach welchem die Arbeitsfestigkeit vom Spannungswechsel (Spannungsgrösse) abhängt, läßt sich auf Grund der Versuchsresultate in folgender Weise annähernd darstellen (Fig. 10):



Bezüglich der Grössen  $u$  und  $S$  sind z. Zt. nur sehr wenige Versuchsresultate vorhanden; fast alle bisher angestellten Festigkeitsversuche beziehen sich auf Zugfestigkeit. Auch die Dauer der Belastung ist von Einfluß auf die Festigkeit, insofern bei ständiger Belastung schon kleinere Spannungen als die Zugfestigkeit des Materials mit der Zeit zerstören können.

Vergleichen ist bei plötzlich einwirkender Belastung die Festigkeit geringer als bei allmählich einwirkender Belastung (wie sie der Zugfestigkeit entspricht), infolge der früher erwähnten Schwingungserschütterung. Experimentell sind die vorgenannten Verhältnisse noch weniger erforscht.

Tabella der Elastizitäts- und Festigkeitsgrößen in kg. m. cm

für Eisen und Stahl

	$E$ (im Mittel)	$K'$	$K''$	$S$	Bruch-Grenze $\frac{K'}{E}$ $\frac{K''}{E}$
Schmiedeeisen; Stabe u. Bleche	2 000 000 kg 1 800 000 kg	3300-4000; 3300-4500;	2600-3200	1400-1700	
Stahl	2 000 000	5000-8000			
Flusseisen; Stabe u. Bleche	2 150 000	3600-4500; 3600-4500;	3100-3800	1100-1700	
Stahl:	2 150 000	6500-8500			
Flussstahl; Stabe u. Bleche	2 200 000	4500-6500; 4500-10000;	3600-5200	2500-4200	
Stahl:	2 200 000	6500-25000;			1200-24000
Gußeisen	1 000 000	1200-2000; 5000-10000;	1200-3200	750; 1500	

Bei Schmiedeeisen beziehen sich  $K'$ ,  $K''$  und  $E$  auf Beanspruchungen parallel der Wälzfaser,  $S$  auf Beanspruchungen senkrecht zur Wälzfaser. Bei Blechen sind  $K'$  und  $K''$  senkrecht zur Wälzfaser nur ca 0,9 mal so gross; bei Stabeisen noch geringer, etwa 0,8 mal so gross.  $E$  ist senkrecht zur Wälzfaser etwas geringer als parallel derselben. Bei Flussmaterial ist der Einfluß der Dampfwalzrichtung von geringem Belang. — Von den angegebenen Zahlenwerten sind die für  $K'$  am zuverlässigsten. Die Grösse der Druckfestigkeit  $K''$  wird wesentlich durch die Gestalt des Probestückes, namentlich dessen Höhe, beeinflusst; bei plattenförmigen Körpern ist dieselbe grösser, als bei säulenförmigen; für die Versuche erhalten die Probestücke in der Regel würfelförmige Gestalt.

[Anmerkung. Hat die mit der Dampfabspannung verbundene Querspannung vorhanden, so kann die Widerstandsfähigkeit gegen Druck bis ins Ungewöhnliche steigen; vgl. das analoge Verhalten von Wasser in der hydraulischen Presse]

Gußeisen besitzt nach dem Früheren schon genommen keine Proportionalität.

Linearitätsgränze. Der angegebene Wert von  $E$  ( $= 1000000$ ) entspricht sehr kleinen Spannungen; mit wachsender Spannung nimmt das Verhältnis  $\frac{\sigma}{\epsilon}$  ab, innerhalb der praktischen Verwendung etwa bis 70000. Als Elastizitätsgränzen angegebenen Werte von 750 und 1500 sind ziemlich willkürlich; innerhalb derselben werden die bleibenden Dehnungen als von keiner praktischen Bedeutung angenommen.

Für die Anwendung sollen die Formänderungen  $\epsilon$  und  $\gamma$  bezw. die Spannungen  $\sigma$  und  $\tau$  eines belasteten Körpers gewisse Werte  $k_1, k_2, k_3$  (die Spannungszahlen, zulässigen Beanspruchungen) nicht überschreiten, die nicht nur unter der Festigkeitsgränze, sondern auch vorwiegend unterhalb der Elastizitätsgränze liegen, um bleibende Formänderungen zu vermeiden. Die Werte  $k_1, k_2$  und  $k_3$  werden je nach der Art der Belastung verschieden gross angenommen. In der Regel setzt man für Schmiedeeisen  $k_1 = k_2 = k_3 = 0,8k$ . Näheres über die Werte von  $k_1$  und  $k_2$  folgt später.

12 In gewissen Fällen der Anwendung genügt es nicht, dass die Einzeldeformationen  $\epsilon$  und  $\gamma$ , bezw. die Spannungen  $\sigma$  und  $\tau$  innerhalb bestimmter Gränzen bleiben, es darf auch die Gesamtdeformation (Durchbiegung) eine vorgeschriebene Grösse nicht überschreiten.

Da die Spannungen nach Vorstehendem unterhalb der Elastizitätsgränze bleiben sollen, so sind hierfür die Elastizitätsgleichungen 1), 2) und 3) anwendbar. Die ganze Festigkeitslehre ist im wesentlichen auf diese Gleichungen aufgebaut; ihre Ergebnisse sind daher nur für die Verhältnisse innerhalb der Elastizitätsgränze gültig, ausserhalb, namentlich in der Nähe des Bruches, sind sie im allgemeinen nicht mehr gültig. Sie gelten auch bei Materialien, welche, wie z. B. Gusseisen, eine eigentliche Elastizitätsgränze bezw. Proportionalitätsgränze nicht besitzen, die Formeln der Festigkeitslehre, soweit dieselben die Gleichungen 1-3 zur Grundlage haben, nur näherungsweise richtig. — Für Folgendes wird, sofern nichts anders bemerkt wird, in der Regel die Gültigkeit der Elastizitätsgesetze 1-3 vorausgesetzt.

Bei Trägern, welche aus verschiedenen Eisenstäben (Flacheisen  $L, I$  etc.) zusammengesetzt sind, kann hierbei ohne wesentlichen Fehler  $E$  durchgehend gleichgross, gleich dem betreffenden Mittelwerte angenommen werden. —

Ferner wird vorausgesetzt, dass die Formänderungen gegenüber den Körperdimensionen als kleine Grössen höherer Ordnung angesehen werden können.

### Lasterfälle.

Es wird ein stabförmiger Körper mit gerader Achse vorausgesetzt. Die belastenden äusseren Kräfte liegen alle in einer Ebene, der Belastungsebene, welche durch die Stabachse geht. Denkt man sich den Stab in einem beliebigen Querschnitt  $F$  in zwei Theile (siehe Fig. 11) und betrachtet den einen Stabteil (z. B. den linksseitigen) so müssen die der Schnittfläche entsprechenden inneren Kräfte (Normal- und Tangentialspannungen) im Gleichgewicht stehen mit den am Stabteil wirkenden äusseren Kräften. Diese äusseren Kräfte lassen sich im allgemeinen beschreiben:

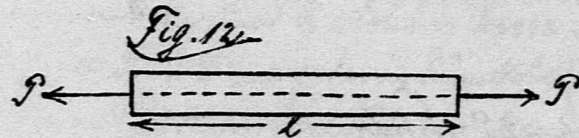


1). Durch eine in der Stabachse normal zum Querschnitt wirkende Normalkraft  $N$ .

- 2). Durch eine im Querschnitt senkrecht zur Achse wirkende Querkraft  $Q$ .
- 3). Durch ein Kräftepaar (Moment)  $M$ , dessen Achse senkrecht zur Stabachse steht.

Genügen nun der Reihe nach die verschiedenen Beanspruchungen eines Stabes behandelt werden.

#### a). Beanspruchung auf Zug.



Der Stab (Fig. 12) wird durch die äusseren Kräfte  $P$  in der Richtung der Achse gezogen. Es wird dann für sämtliche Querschnitte  $N = P, Q = 0, M = 0$ . Es wird angenommen, dass die Normalkraft  $N$  sich gleichmässig auf alle Punkte des Querschnittes verteilt (eine Annahme, welche bei der Einwirkung von Einzelkräften  $P$  in der nächsten Nähe der Querschnitte nicht vollkommen erfüllt ist). Die Spannung ergibt sich dann konstant zu

$$\sigma = \frac{N}{F} = \frac{P}{F} \dots \dots \dots 16$$

Der Stab besitzt geringsten Querschnitt, wenn  $\sigma \leq k$  bezw.  $P \leq \frac{k}{F} \dots \dots \dots 16^a$

$$\left. \begin{aligned} \text{Die totale Verlängerung des Stabes ist } \Delta l &= \int_0^l \epsilon dl \\ \text{Innerhalb der Elastizitätsgränze ist } \Delta l &= \int_0^l \frac{\sigma}{E} dl = \frac{P}{E} \int_0^l \frac{dl}{F} \\ \text{Bei konstantem Querschnitt wird } \Delta l &= \frac{P}{E} \cdot \frac{l}{F} = \frac{\sigma l}{E} \end{aligned} \right\} \dots \dots 17$$

Da in allen Punkten des Querschnitts die Normalspannung die gleiche Grösse, nämlich  $\frac{P}{F}$ , hat, so dehnen sich die Längsfasern alle gleichmässig aus; es findet keine gegenseitige Verschiebung derselben statt.



d.h. in der zur Stabachse parallelen Ebene ist keine Schubspannung vorhanden. Wird die x-Achse eines Koordinatensystems in die Stabachse gelegt, so sind die Beziehungen 13) direkt anwendbar.

Die Schubspannung parallel und demnach auch diejenige senkrecht zur Stabachse ist  $\tau = 0$ .

Die Hauptspannungen sind  $\xi_1 = \sigma$  parallel zur Achse,  
 $\xi_2 = 0$  senkrecht zur Achse.

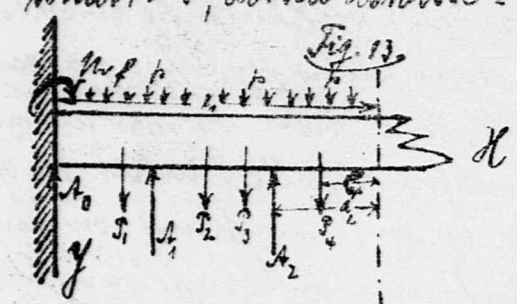
Die größten Schubspannungen  $\xi$  bilden den Winkel  $\alpha_1 = \pm 45^\circ$  mit der Achse, ihr Wert ist  $\xi = \sqrt{\left(\frac{\sigma_x - \sigma_y}{2}\right)^2 + \tau^2} = \sqrt{\left(\frac{\sigma}{2}\right)^2 + 0} = \frac{\sigma}{2} = \frac{p}{2}$

b) Beanspruchung auf Biegung.

Längliche äusseren Kräfte sind parallel und senkrecht zur Achse gerichtet; der Stab besitze eine Symmetrieebene, welche mit der Belastungsebene zusammenfällt.

Die ursprünglich gerade Achse krümmt sich unter der Belastung in der Symmetrieebene und bildet dann die elastische Linie. Wir legen ein rechtwinkliges Koordinatenkreuz in die Symmetrieebene, die x-Achse in die ursprünglich gerade Achse; in der Regel werden die positiven x nach rechts, die positiven y nach unten gerechnet. (Fig. 13).

Unter den gemachten Voraussetzungen ist für einen beliebigen Querschnitt F, dessen Abszisse = x:



$$N = 0$$

$$Q = \sum A - \sum P - \int_0^x p dx$$

$$M = \sum Aa - \sum P \cdot a - M_0 - \int_0^x p(x-x) dx$$

wobei p stetige Belastung pro Längeneinheit bezeichnet.

Aus der letzten Gleichung folgt:

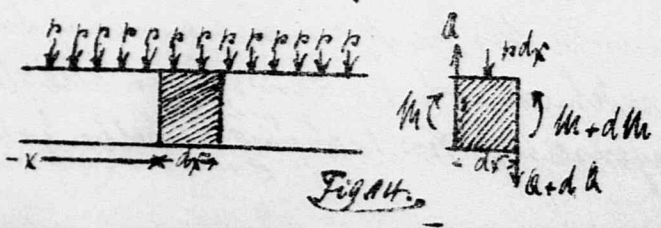
$$\frac{dM}{dx} = \sum A \frac{da}{dx} - \sum P \frac{de}{dx} - \int_0^x p dx, \text{ aber da}$$

$$\frac{da}{dx} = \frac{de}{dx} = 1, \quad \frac{dM}{dx} = \sum A - \sum P - \int_0^x p dx = Q \dots \dots \dots 18)$$

Überso erhält man durch Differentiation von Q die Gleichung:

$$\frac{dQ}{dx} = -p, \quad \text{und} \quad \frac{d^2 M}{dx^2} = -p \dots \dots \dots 19)$$

Die Gleichungen 18) und 19) lassen sich auch auf folgende Weise ableiten, wenn man das Gleichgewicht an einer Scheibe von der Breite dx betrachtet (Fig. 14):



Summe aller Momente = 0 liefert:  
 $M + Q dx - p \frac{dx^2}{2} = M + dM$ , woraus mit Vernachlässigung der unendlich kleinen 2. Ordnung:  
 kleiner 2. Ordnung:

$$Q = \frac{dM}{dx} \dots \dots \dots 18)$$

Zwischen zwei Lastangriffstellen ist Q konstant (falls p=0); man erhält dann durch Integration von Gleichg. 18):

$$M_2 - M_1 = \int_1^2 Q dx = Q(x_2 - x_1) = Q \cdot l;$$

$$Q = \frac{M_2 - M_1}{l} \dots \dots \dots 18^a)$$

Summe aller Vertikalkräfte = 0 liefert:

$$Q - p dx = Q + dQ$$

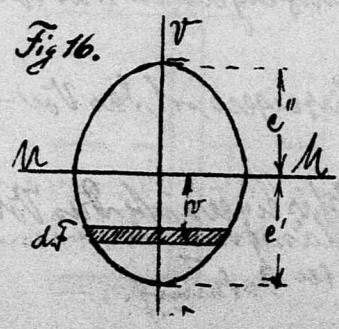
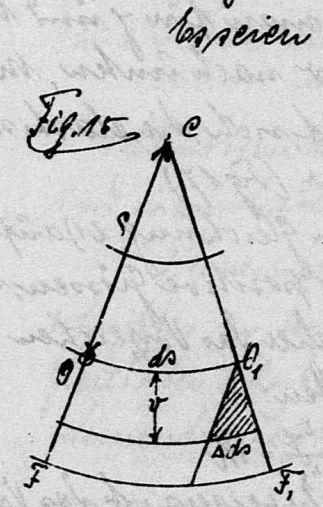
$$\frac{dQ}{dx} = -p \dots \dots \dots 19)$$

In der Regel setzen wir, wie vorstehend, bei Betrachtung des linksseitigen Stabteils Q positiv, wenn es nach oben gerichtet ist, M positiv, wenn es wie der Uhrzeiger dreht. Bei anderen Vorzeichenannahmen können Gleichungen 18) und 19) andere Vorzeichen erhalten; z.B. für Q positiv nach unten wird:

$$\frac{dM}{dx} = -Q; \quad \frac{dQ}{dx} = +p.$$

Aus Gleichung 18) folgt, dass M sein Maximum für Q=0 erreicht. — Die inneren Spannungen des Querschnitts F müssen nun im Gleichgewicht mit M und Q stehen. Diese Bedingungen genügen jedoch noch nicht, um  $\sigma$  und  $\epsilon$  in jedem Punkte des Querschnitts zu bestimmen.

Man macht zu diesem Zwecke noch die weitere Annahme, dass die ursprünglich ebenen Querschnitte auch nach der Biegung noch eben und senkrecht zur elastischen Linie seien; hiermit können  $\sigma$  und  $\epsilon$  in jedem Punkte berechnet werden.



Es seien F und F' (Fig. 15) zwei um ds voneinander entfernte, ursprünglich parallele Querschnitte. Nach der Biegung schneiden sich deren Ebenen in der Krümmungsachse C. Der Krümmungsradius der Achse ist, wenn  $\rho = OC$ . Teilt man den Querschnitt durch Linien parallel der Krümmungsachse C in horizontale Lamellen dF (Fig. 16), so müssen für jeden Punkt derselben die Schwingungen  $\epsilon$  und somit auch die Spannungen  $\sigma$  konstant sein. Diejenige Linie U, für deren Punkte  $\epsilon$  und  $\sigma = 0$  sind, heisst die neutrale Achse des Querschnitts. Wir legen in den Querschnitt ein Koordinatensystem, dessen Abscissenachse U mit der neutralen Achse zusammenfällt, und dessen Ordinatenachse V in der Symmetrieebene liegt. Für eine Lamelle im Abstände v von U hat die Änderung der Entfernung von der

homologen Längs des Querschnitts  $F$  den Betrag  $\Delta ds$ .  
 aus ähnlichen Dreiecken folgt:

$$\frac{\Delta ds}{v} = \frac{ds}{\rho} \quad \text{oder} \quad \frac{\Delta ds}{ds} = \frac{v}{\rho}$$

sonst  $\epsilon = \frac{v}{\rho} ; \sigma = \frac{E \cdot v}{\rho} \dots \dots \dots 20)$

Die totale auf  $dF$  wirkende innere Kraft (Normalkraft) ist sodann  
 $\sigma dF = \frac{E \cdot v \cdot dF}{\rho}$

aus der Gleichgewichtsbedingung: „Summe aller Horizontalkräfte = 0“ folgt:  
 $\int \sigma dF = 0$  d.h.  $\int \frac{E \cdot v \cdot dF}{\rho} = \frac{E}{\rho} \int v dF = 0$  oder  $\int v dF = 0$

d.h. mit anderen Worten: die Abszissenachse geht durch den Schwerpunkt,  
 aber die neutrale Achse geht durch den Schwerpunkt.

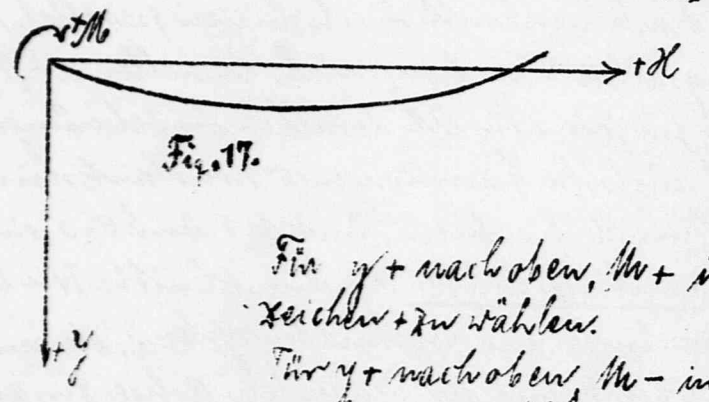
Die Bedingung: „Summe aller Momente = 0“ gibt  
 $M = \int \sigma \cdot dF \cdot v = \frac{E}{\rho} \int v^2 dF = \frac{E \cdot J}{\rho} \dots \dots \dots 21)$

wo  $J$  = Trägheitsmoment des Querschnitts bezüglich der neutralen  
 Achse u. d.h.ans lässt sich bei gegebenem Moment,  $E$  und  $J$  der zugehörige  
 Krümmungsradius  $\rho$  und somit auch  $\sigma$  nach Gleichung 20) berechnen.

Ist nun  $\rho = \pm \left[ 1 + \left( \frac{dy}{dx} \right)^2 \right]^{\frac{3}{2}} : \frac{d^2 y}{dx^2}$ , oder dass sich um sehr schwache  
 Krümmungen, also um sehr kleine  $\frac{dy}{dx}$  handelt, genau gering  $\rho \approx \pm \frac{1}{\frac{d^2 y}{dx^2}}$ ;  
 setzt man diesen Wert in Gleichung 21) ein, so folgt als Differential-  
 gleichung der elastischen Linie:

$$\pm E J \frac{d^2 y}{dx^2} = M \dots \dots \dots 22)$$

Das Vorzeichen hängt davon ab, welche Richtungen man für  $y$  und  $M$   
 als die positiven annimmt. Wir wählen  $y$  positiv nach unten,  $M$   
 positiv im Sinne des Uhrzeigers. Hierbei krümmt sich die elastische  
 Linie konvex nach oben, und  $\frac{d^2 y}{dx^2}$  wird negativ. (Fig. 17).



Somit kann in Gleichung 22) auf  
 beiden Seiten positive Größen stehen,  
 muss daher das Vorzeichen -  
 gewählt werden:

$$-E J \frac{d^2 y}{dx^2} = M$$

Für  $y +$  nach oben,  $M +$  im Sinne des Uhrzeigers ist das Vorzeichen  $+$  zu wählen.  
 Für  $y +$  nach oben,  $M -$  im Sinne des Uhrzeigers ist das Vorzeichen  $-$  zu wählen.  
 Für  $y +$  nach unten,  $M -$  im Sinne des Uhrzeigers ist das Vorzeichen  $+$  zu wählen.

Allgemein gesprochen:  
 Das positive Zeichen ist gültig, wenn durch das Positive Moment die Konvexe nach unten positiv hingewendet ist.

Wird man, statt wie vorstehend angenommen den linksseitigen Träger-  
 teil, den rechtsseitigen der Betrachtung zu Grunde legen, so wären jeweils die  
 entgegengesetzten Vorzeichen anzuwenden.

Ist  $F$  und  $M$  als Funktionen von  $x$  gegeben, so liefert Gleichung 20)  
 nach zweimaliges Integrieren die Gleichung der elastischen Linie. In Ver-  
 bindung mit Gleichung 18) ändert sich Gleichung 20) zu:

$$\pm M = b F \frac{d^2 y}{dx^2} ; \pm Q = b F \frac{dy}{dx} ; \pm P = b F y$$

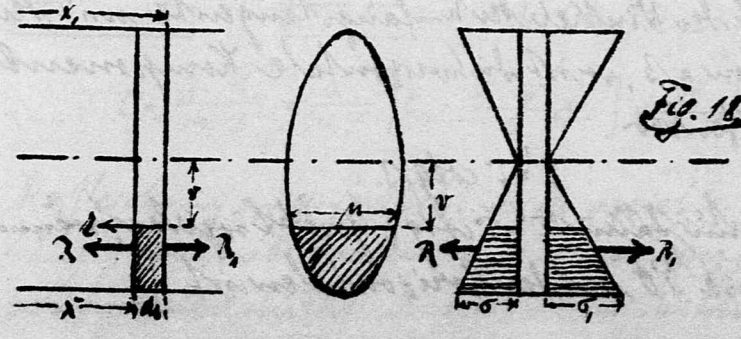
[Anmerkung 2.] Wenn genommen über einen den Momenten  $M$   
 auch die Querkraft  $Q$  einen Einfluss auf die Deforma-  
 tion bezw. auf die Gestalt der elastischen Linie aus. Dieser Einfluss ist bei  
 gewöhnlichen massiven Balken ohne Bedeutung; nur bei Trägern mit  
 dünnem Wand kann derselbe in Betracht kommen, worüber später noch  
 angelegener Stelle gesprochen wird.]

Nach Gleichung 20) ist  $\sigma = \frac{E \cdot v}{\rho}$ , und wenn man nach Gleichung 21)  
 $\frac{E}{\rho} = \frac{M}{J}$  setzt, so ist  
 $\sigma = \frac{M \cdot v}{J} \dots \dots \dots 23)$

$\sigma$  wächst sonach proportional der Ordinate  $v$  und erreicht seine größten  
 Werte für die äusseren Fasern  $e'$  und  $e''$ , und zwar ist die  
 größte Zugspannung  $\sigma' = \frac{M \cdot e'}{J}$   
 größte Druckspannung  $\sigma'' = \frac{M \cdot e''}{J}$   
 Für  $e' = e'' = e$  sind  $\sigma'$  und  $\sigma''$  einander gleich und zwar  $\sigma = \frac{M \cdot e}{J}$  } 24)

Die Quotienten  $\frac{F}{e'}$ ,  $\frac{F}{e''}$  und  $\frac{F}{e}$  bezeichnet man häufig mit  $I', I'', I$   
 und nennt sie Standsmomente.

Die vertikale Schubspannung  $\tau$  eines Flächenelements des Quer-  
 schnittes in der Entfernung  $v$  von der neutralen Achse ist nach Gleichung 9)  
 gleich der Schubspannung  $\tau$  eines dazu normalen horizontalen Flächene-  
 elements. Letztere lässt sich bestimmen, wenn man den flächengerichts-  
 senkrechten Zustand eines schubbeanspruchten



bezeichnet, welches auch homo-  
 loge Stücke der zwei Querschnitte  
 sind  $x_1$  und  $x_2$  durch einen hori-  
 zontalen Schnitt in der Tiefe  $v$   
 bequemt wird. (Fig. 18).

Wirken am Scheitelpunkt die Kräfte:

$$R = \int_0^e v dF = \int_0^e \frac{M_0}{F} v dF = \frac{M_0}{F} \int_0^e v dF = \frac{M_0}{F} \int_0^e v dF \quad (\text{wobei } \int_0^e v dF \text{ statisches Moment im streifenförmigen Flächenelement zum die neutral Achse.})$$

$$R_0 = \int_0^e v dF_0 = \frac{M_0}{F} \int_0^e v dF_0$$

$\epsilon = \epsilon \cdot \mu dx$ , wenn man annimmt, daß nicht  $\epsilon$  gleichmäßig auf die Breite  $\mu$  verteilt. (NB. Dies ist bei plötzlicher Änderung von  $\mu$  nicht mehr voll kommen richtig!).

$$r = R_0 - R, \text{ d.h. } \epsilon \cdot \mu dx = \frac{M_0}{F} \int_0^e v dF_0 - \frac{M_0}{F} \int_0^e v dF = d\left(\frac{M_0 \int_0^e v dF}{F}\right), \text{ woraus}$$

$$\epsilon = \frac{1}{\mu} \cdot \frac{d}{dx} \left( \frac{M_0 \int_0^e v dF}{F} \right) = \frac{1}{\mu} \left[ \frac{dM_0}{dx} \cdot \frac{\int_0^e v dF}{F} + M_0 \frac{d}{dx} \left( \frac{\int_0^e v dF}{F} \right) \right]$$

$$= \frac{1}{\mu} \left[ \frac{Q \cdot \int_0^e v dF}{F} + M_0 \frac{d}{dx} \left( \frac{\int_0^e v dF}{F} \right) \right] \dots \dots \dots 25.)$$

da nach Gleichung 18)  $\frac{dM_0}{dx} = Q$ . Für Abkürzung würde  $\int_0^e v dF$  statt  $\int_0^e v dF$  gesetzt.

Für konstanten Querschnitt ist  $\frac{d}{dx} \left( \frac{\int_0^e v dF}{F} \right) = 0$ , also  $\epsilon = \frac{Q \cdot \int_0^e v dF}{\mu \cdot F} \dots \dots \dots 26.)$

Für langsam sich ändernde Querschnitte kann näherungsweise  $\epsilon$  ebenfalls  $= \frac{Q \cdot \int_0^e v dF}{\mu \cdot F}$  gesetzt werden.

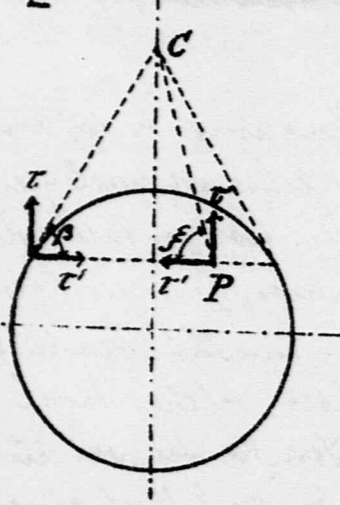
[Anmerkung 3. Die statische Gleichgewichtsbedingung: „Summe aller vertikalen Kräfte = 0“ ist von selbst erfüllt.

Es soll sein  $Q = \int_{-e}^{+e} \epsilon \cdot \mu dx = \int_{-e}^{+e} \frac{Q \cdot \int_0^e v dF}{F} dx$ , d.h.  $F = \int_{-e}^{+e} \int_0^e v dF dx$

$$F = \left[ \int_{-e}^{+e} v \cdot dx \right]_{-e}^{+e} = \int_{-e}^{+e} v \cdot dx = 0 - \int_{-e}^{+e} v \cdot (-v dx) = \int_{-e}^{+e} v^2 dx = F$$

Man erhält also die identische Gleichung  $F = F$ .

[Anmerkung 4.



Für den Fall, dass die seitliche Begrenzung des Querschnittes nicht vertical ist, werden die Querschnittselemente außer durch die in Gleichung 26.) bestimmten vertikalen Schubspannungen  $\epsilon$  auch noch durch horizontale Schubspannungen  $\epsilon'$  angegriffen, weil die totalen Schubspannungen der Randelemente in der Richtung der Umfangstangente liegen müssen. Ist der Winkel der Umfangstangente mit der Horizontalen  $= \beta$ , so ist die horizontale Komponente offenbar

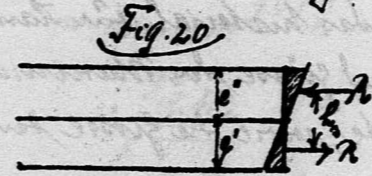
$$\epsilon' = \epsilon \cot \beta.$$

Für Zwischenelemente  $\xi$  kann dann  $\epsilon' = \epsilon \cot \xi$  gesetzt werden, wenn  $\xi$  der Winkel der Verbindungslinie  $PO$  mit der Horizontalen ist.]

Nach Gleichung 26.) ist die Tangentialspannung  $\epsilon$  proportional der Größe  $\int_0^e v dF$ . Für die äußerste Faser ist  $\int_0^e v dF = 0$ , also auch  $\epsilon = 0$ . Für die Regel wird  $\epsilon$  am größten in der neutralen Achse, da hier  $\int_0^e v dF$  am größten. Der betreffende Wert von  $\epsilon_0 = \frac{Q}{\mu} \cdot \frac{\int_0^e v dF}{F}$  läßt sich noch etwas umformen: die positiven und negativen  $\epsilon$  lassen sich zu je einer Mittelkraft  $R$ , deren Entfernung mit  $h_0$  bezeichnet, werden möge, zusammenfassen.

Man hat dann:  $M_0 = R \cdot h_0 = h_0 \int_0^e v dF = h_0 \int_0^e \frac{M_0 \cdot v dF}{F} = \frac{h_0 \cdot M_0}{F} \int_0^e v dF$

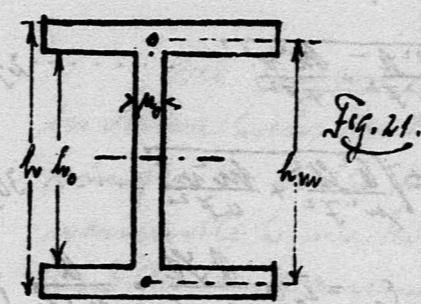
Hieraus folgt:  $h_0 = \frac{F}{\int_0^e v dF}$  und  $\epsilon_0 = \frac{Q}{\mu} \cdot \frac{\int_0^e v dF}{F} = \frac{Q}{\mu \cdot h_0} \dots \dots \dots 27.)$



$h_0$  heißt Entfernung des Stossmittelpunktes. und ist stets größer als die Entfernung der Schwerpunkt der Querschnittshälfte und kleiner als die Trägerhöhe  $h$ . (Fig. 20)

Für I = Querschnitt mit dünner Mittelrippe ist:

$$h_0 = \frac{F}{Q} = \frac{2i + 2f \frac{m^2 + m^3}{3}}{f \frac{m^2}{2} + \frac{m^3}{3}} \text{, annähernd} = h_0 \frac{12f + 6m \mu}{12f + 3m \mu}$$

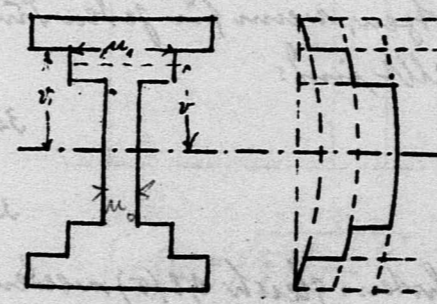


Hierin bedeutet  $f$  den Querschnitt einer Stange, in das Trägheitsmoment derselben um ihre eigene Achse,  $m$  den Abstand der Querschnittspunkte,  $\mu$  die Stegdicke,  $h_0$  die Steghöhe. Es ist also  $h_0$  etwas kleiner als  $h$  und kann bei dünnem Steg genau gleich der Steghöhe  $h_0$  gesetzt werden; somit

$$\epsilon_0 = \frac{Q}{\mu \cdot h_0} = \frac{Q}{f_0} \dots \dots \dots 28.)$$

wenn der Stegquerschnitt  $\mu_0 \cdot h_0 = f_0$  gesetzt wird.

Ist der Querschnitt aus einzelnen Rechtecken zusammengesetzt, so entspricht der sprunghaft weichen Änderung der Breite  $\mu$  eine plötzliche Änderung des Wertes  $\epsilon$ , wie aus Gleichung 26.) direkt hervorgeht.



Innerhalb eines Rechtecks variiert  $\epsilon$  nach den Ordinaten einer Parabel mit horizontaler Achse. (Fig. 21.) Ist  $\mu_1$  die Breite eines der Rechtecke,  $e_1$  die Ordinate zuoberst horizontalen Seite,  $C_1$  das statische Moment der oberhalb gelegenen Rechtecke, so ist innerhalb der betr. Rechtecke:

$$\epsilon = \frac{Q \cdot \int_0^e v dF}{\mu_1 \cdot F} = \frac{Q}{\mu_1 \cdot F} \left[ C_1 + \frac{v^2 - v^2}{2} \mu_1 \right] = \frac{Q}{\mu_1 \cdot F} \left[ C_1 + \frac{v^2 \mu_1}{2} \right] - \frac{Q v^2}{2 F}, \text{ d. i.}$$

Die Gleichung einer Parabel. Da der variable Teil von  $\epsilon$ , nämlich  $\frac{Q v^2}{2 F}$ , unabhängig von den Ordinaten  $\mu_1, v$  eines speziellen Rechtecks ist, so unmittelbar sieht, die Parabelstücke der einzelnen Rechtecke nur durch die Konstanten,

d. h. durch die Scheitelordinate; sie gehören sämtlich der gleichen Parabel an, die jeweils nur um ein gewisses Stück, gleich der Differenz der Konstanten, verschoben sind. Bei Stümpfen Mittelrippe nimmt  $\epsilon$  innerhalb desselben um wenig von der Mitte aus nach oben oder unten ab.

Nach Vorstehendem kann für jedes Element eines Querschnittes die Normalspannung  $\sigma$  und die Tangentialspannung  $\tau$  bestimmt werden, wenn Belastung und Trägerform gegeben sind. Für den Flächenelementen des Querschnitts eines Stümpfen (horizontale Elemente) herrscht die gleiche Tangentialspannung  $\tau$ ; die Normalspannung  $\sigma$  derselben kann bei konstantem Querschnitt ohne große Fehler = 0 gesetzt werden. Man hat hiernach das Material zur Hand um mit Hilfe der Gleichungen 5) bis 15) Richtung und Größe der Maximalspannungen  $\xi$  und  $\zeta$  in einem beliebigen Punkte, sowie die Größe der Ersatzspannungen  $\sigma$  bestimmen zu können.

Für einen Träger konstanten Querschnitts erhält man

da  $\sigma_y = 0$ ,  $\sigma_x = \sigma = \frac{Mv}{J}$ ,  $\tau = \frac{Qv}{\mu J}$

1)  $\alpha_\xi = -\frac{\sigma}{2\tau} = -\frac{Mv\mu}{2QvJ}$ ;  $\xi_m = \sqrt{\left(\frac{\sigma}{2}\right)^2 + \tau^2} = \sqrt{\frac{M^2v^2}{4J^2} + \frac{Q^2v^2}{J^2}}$  ..... 29)

2)  $\alpha_\zeta = \frac{2\tau}{\sigma} = \frac{2QvJ}{Mv\mu}$ ;  $\zeta_m = \frac{\sigma}{2} \pm \xi_m = \frac{Mv}{2J} \pm \sqrt{\frac{M^2v^2}{4J^2} + \frac{Q^2v^2}{J^2}}$  ..... 30)

Für die neutrale Achse ist  $v=0$ ;  $\alpha_\xi = 0$  und  $\frac{\pi}{2}$ ;  $\xi_m = \tau_0 = \frac{Qv_0}{\mu_0 J_0} = \frac{Q}{\mu_0 b_0}$ ;  
 $\alpha_\zeta = \frac{\pi}{4}$  und  $\frac{3\pi}{4}$ ;  $\zeta_m = \pm \xi_m = \pm \frac{Q}{\mu_0 b_0}$

Für die äusserste Faser ist  $v=c$ ;  $\tau=0$ ;  $\alpha_\xi = \frac{\pi}{4}$  und  $\frac{3\pi}{4}$ ;  $\xi_m = \frac{\sigma}{2} = \frac{Mc}{2J}$ ;  
 $\alpha_\zeta = 0$  und  $\frac{\pi}{2}$ ;  $\zeta_m = \sigma = \frac{Mc}{J}$  und = 0.

Nach Gleichung 15) erhält man  
 $\sigma = \frac{3}{8}\sigma + \frac{5}{8}\sqrt{4\tau^2 + \sigma^2} = \frac{3Mc}{8J} + \frac{5}{8}\sqrt{\frac{4Q^2v^2}{J^2} + \frac{M^2v^2}{J^2}} = \frac{3\sigma}{8} + \frac{5}{4}\xi_m$  ..... 31)

Für  $v=0$ :  
 $\sigma = \frac{5}{4}\tau_0 = \frac{5QJ_0}{4\mu_0 J} = \frac{5Q}{4\mu_0 b_0}$ ; für  $v=c$ :  $\sigma = \sigma = \frac{Mc}{J}$

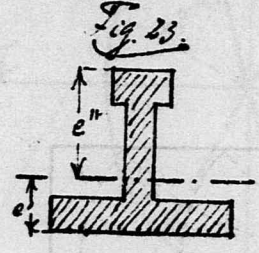
Der Träger wird nun genügende Festigkeit besitzen, wenn für jeden Punkt derselben die folgenden zwei Bedingungen erfüllt sind:

$\xi_m \leq A$  ..... 32)  
 $\sigma \leq K$  ..... 33)

aus Gleichung 31) sieht man, daß  $\xi_m$  höchstens gleich  $0,8(\sigma)$  werden kann. Da nun bei Schmiedeeisen  $A$  in der Regel  $\geq 0,8K$ , so folgt, dass für dieses Material Gleichung 32) erfüllt ist, wenn dies bei Gleichung 33) der Fall ist. Es ist also in der Regel nur Gleichung 33) in Betracht zu ziehen; ausnahmsweise für  $A < 0,8K$  kann auch Gleichung 32) in Betracht kommen.

Bei Trägern mit nicht zu starrer Mittelrippe wird  $\sigma$  in normalen Fällen am grössten in den äussersten Fasern  $\sigma = \sigma' = \frac{Mc'}{J} \leq k'$  und  $\sigma = \sigma'' = \frac{Mc''}{J} \leq k''$ . Bei Schmiedeeisen ist  $k' \cdot k'' = k$ . Soll  $\sigma' = \sigma''$  werden, so muss  $e' \cdot e'' = e$  werden, d. h. die Schwerpunktsachse muss gleichviel von den äussersten Fasern abstecken. Man hat dann  $\sigma = \frac{Mc}{J} \leq k$  oder  $M \leq kJ$ ,  $M \leq kJ$ , wenn man  $J = W = \text{Widerstandsmoment}$ , und  $W = W: J = \text{Widerstandshalbmesser}$  setzt.

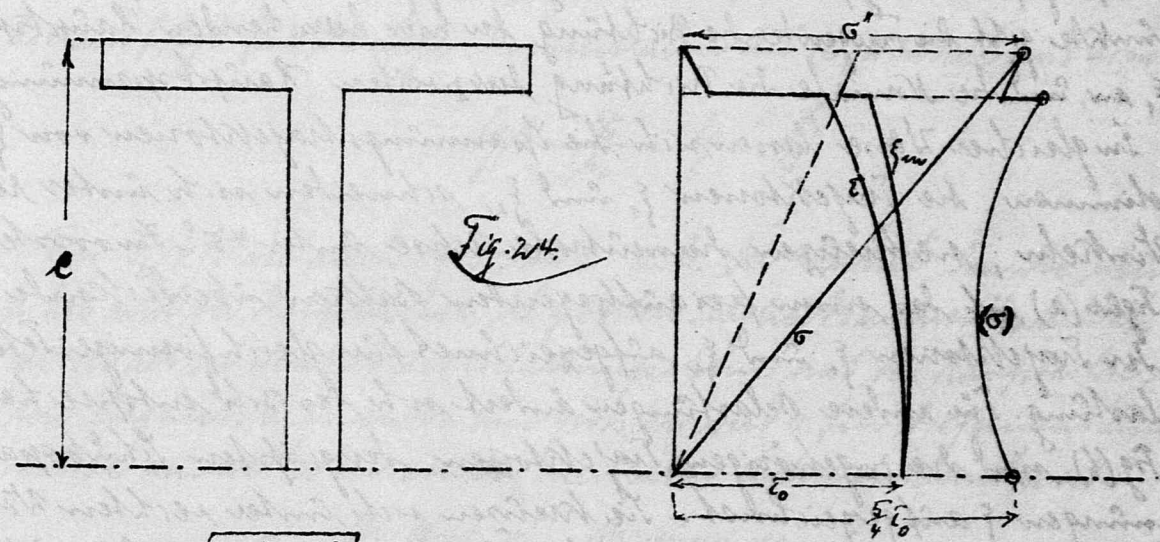
$J$  ist eine Größe 4<sup>ter</sup> Ordnung (= cm<sup>4</sup>),  $W$  eine solche 3<sup>ter</sup> Ordnung (= cm<sup>3</sup>),  $W$  eine solche 1<sup>ter</sup> Ordnung (= cm).



Soll für einen gewissen Stoff  $k' = \frac{1}{2}k''$  und soll gleichzeitig  $\sigma' = \frac{Mc'}{J} = k'$  und  $\sigma'' = \frac{Mc''}{J} = k''$  werden, so muss  $e' = \frac{k''}{k'} = \frac{1}{2}$  sein. Andernfalls wird das Material in den äussersten Fasern nicht vollständig ausgenutzt.

Bei Trägern mit starrer Mittelrippe können infolge der Schwachens der Schubspannungen  $\tau$  die grössten Ersatzspannungen  $\sigma$  auch innerhalb der äussersten Fasern stattfinden, namentlich in der neutralen Achse, und dort wo Mittelrippe sind Quertung aneinander ablesen.

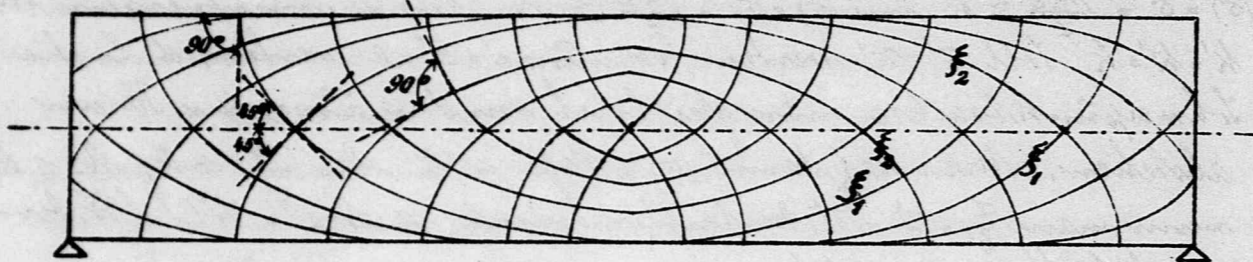
Graphische Darstellung der Werte von  $\sigma$ ,  $\tau$ ,  $\xi_m$ ,  $\sigma$ .



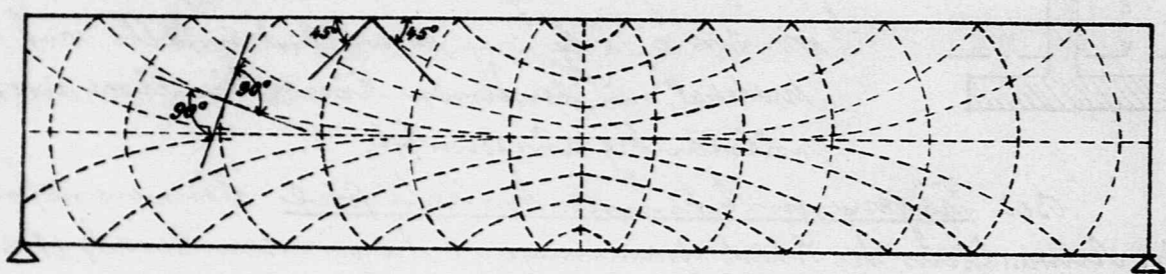
$\xi_m = \sqrt{\left(\frac{\sigma}{2}\right)^2 + \tau^2}$   
 $\xi_m = \frac{\sigma}{2} + \xi_m$   
 $\sigma = \frac{3}{8}\sigma + \frac{5}{4}\xi_m$

[Anmerkung 5. Spannungstrajektorien

(a) Trajektorien der größten Zug- und Druckspannungen,  $\xi_1$  und  $\xi_2$ .



(b) Trajektorien der größten Schubspannungen  $\xi$ .

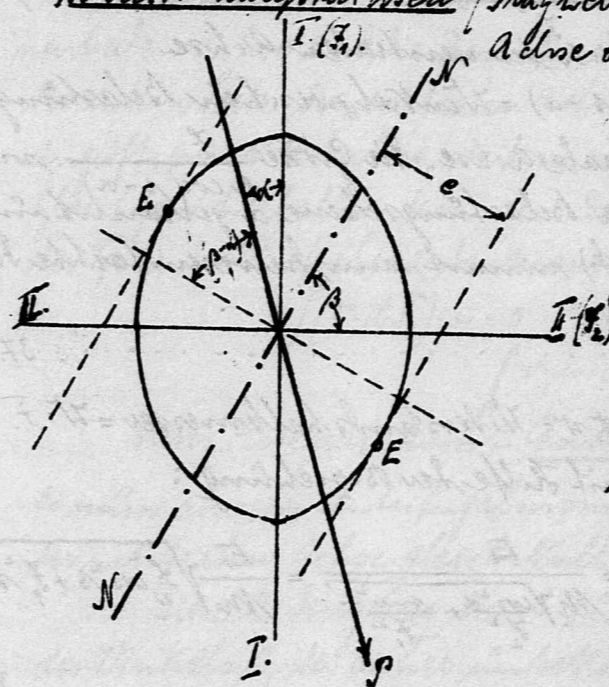


Schneidet man von einem beliebigen Punkte  $\sigma$  eines Balkens in der Richtung der daselbst herrschenden Hauptspannung  $\xi_1$ , oder bis zu dem, dem das entfernsten Punkte 1, geht dann in der hier herrschenden Richtung von  $\xi_1$ , bzw. das weiter bis zum Punkte 2, und in dieser Weise immer weiter, indem man in jedem neu erreichten Punkte jeweils die Richtung der neuen  $\xi_1$  einschlägt, so erhält man eine Spannungstrajektorie der Hauptspannung  $\xi_1$  (z. B. Zugspannung). Dieselbe hat folgende Eigenschaften: In jedem ihrer Punkte gibt die tangente die Richtung der hier herrschenden Hauptspannung  $\xi_1$  an, und die Normale die Richtung der zweiten Hauptspannung  $\xi_2$ .

In gleicher Weise lassen sich die Spannungstrajektorien von  $\xi_2$  bestimmen. Die Trajektorien  $\xi_1$  und  $\xi_2$  schneiden sich unter rechten Winkeln; sie kreuzen die neutrale Achse unter  $45^\circ$ . In vorstehendem Fig. (a) ist das einem frei aufliegenden Balken überdeckte Netz der Trajektorien  $\xi_1$  und  $\xi_2$  aufgezeichnet für gleichförmige Totalbelastung. Für andere Belastungen ändert sich das Bild entsprechend. In Fig. (b) sind die zugehörigen Trajektorien der größten Schubspannungen  $\xi$  aufgezeichnet. Sie kreuzen sich unter rechten Winkeln und bilden mit den begegnenden Trajektorien  $\xi_1$  und  $\xi_2$  Winkel von  $45^\circ$ . Die Trajektorien  $\xi_1$  und  $\xi_2$  sind gleichzeitig die Trajektorien für  $\xi = 0$ , da neben den Hauptspannungen keine Schubspannungen auf die beschriebenen Flächenelemente einwirken.]

Belastungsebene nicht mit einer Symmetrieebene zusammenfällt.

Vorstehende Formeln, die für symmetrisch geformte und symmetrisch belastete Stäbe aufgestellt wurden, gelten auch für Stäbe unsymmetrischen Querschnitts, falls die Belastungsebene durch eine der beiden Querschnittshauptachsen (Trägheitshauptachsen) hindurch geht. Die neutrale Achse des Querschnitts steht auch in diesem Falle senkrecht auf der Belastungsebene, d. h. sie fällt mit der zweiten Hauptachse zusammen. Geht die Belastungsebene nicht durch eine der Hauptachsen, so steht die neutrale Achse nicht mehr zu ihr senkrecht. Ist der Winkel, den die Belastungsebene mit der einen Hauptachse bildet, gleich  $\alpha$ , so zerlegt man die Lasten  $P$  nach den 2 Hauptachsen in 2 Komponenten  $P \cdot \cos \alpha$  und  $P \cdot \sin \alpha$ , für welche die bisherigen Formeln gültig sind. Die Momente derselben sind entsprechend  $M \cdot \cos \alpha$  und  $M \cdot \sin \alpha$ . Die Normalspannung  $\sigma$  eines beliebigen Punktes  $(u, v)$  des Querschnitts ist:



... 34)

Für die neutrale Achse, deren Koordinaten mit  $u_0$  und  $v_0$  bezeichnet werden mögen, muss sein:

$$\sigma = 0 = \frac{M \cdot \cos \alpha \cdot v_0}{I_2} + \frac{M \cdot \sin \alpha \cdot u_0}{I_1}; \quad v_0 = -\frac{I_2}{I_1} \cdot \operatorname{tg} \alpha \cdot u_0;$$

Daraus folgt für die Lage der neutralen Achse (Winkel mit Achse I =  $\beta$ ).

$$\operatorname{tg} \beta = \frac{v_0}{u_0} = \operatorname{tg} \alpha \cdot \frac{I_2}{I_1} \quad \dots \dots \dots 35)$$

Für  $I_2 > I_1$  ist auch  $\operatorname{tg} \beta > \operatorname{tg} \alpha$ , d. h. der Winkel, den die neutrale Achse mit der Hauptachse des größten Trägheitsmomentes bildet, ist stets größer als der Winkel der Belastungsebene mit der Hauptachse des kleinsten Trägheitsmomentes. Am größten wird  $\sigma$  für diejenigen Punkte E, welche am weitesten von der neutralen Achse entfernt sind:

$$\sigma' = \frac{M \cdot \cos \alpha \cdot v'}{I_2} + \frac{M \cdot \sin \alpha \cdot u'}{I_1} \quad \dots \dots \dots 36)$$

wo  $u'$  und  $v'$  die Koordinaten von E bezeichnen.

Nimmt man den Abstand des Punktes E von der neutralen Achse  $e$  und führt diesen Wert  $e = u' \sin \beta + v' \cos \beta$  in Gleichung 36) ein, so erhält man

$$\sigma' = \frac{M \cdot \cos \alpha \cdot e}{I_2 \cdot \cos \beta} = \frac{M \cdot \sin \alpha \cdot e}{I_1 \cdot \sin \beta} \quad \dots \dots \dots 37)$$

oder, je nachdem man  $\alpha$  oder  $\beta$  mittels Gleichung 35.) eliminiert:

$$\sigma' = \sqrt{\frac{\cos^2 \alpha + \sin^2 \alpha}{F_1^2}} \cdot M \cdot e = \frac{M \cdot e}{\sqrt{F_1^2 \cos^2 \beta + F_2^2 \sin^2 \beta}} \dots 37.2)$$

keine weitere Umformung ergibt:

$$\sigma' = \frac{M \cdot e \cdot \cos(\beta - \alpha)}{F} \dots 37.3)$$

wo  $F$  = Trägheitsmoment bezüglich der neutralen Achse  
 d. h.  $F = F_1 \sin^2 \beta + F_2 \cos^2 \beta$ ,  $\sin(\beta - \alpha)$  = Winkel zwischen Belastungs-  
 ebene und Normalen auf die neutrale Achse. Die Größe  $\frac{F}{e \cos(\beta - \alpha)}$  wird  
 Widerstandsmoment bezüglich der Belastungsebene  $\alpha$  genannt und  
 mit  $W$  bezeichnet. Gleichung 37.3) nimmt dann die vereinfachte Form an:

$$\sigma' = \frac{M}{W} = \frac{M}{F \cdot r} \dots 37.4)$$

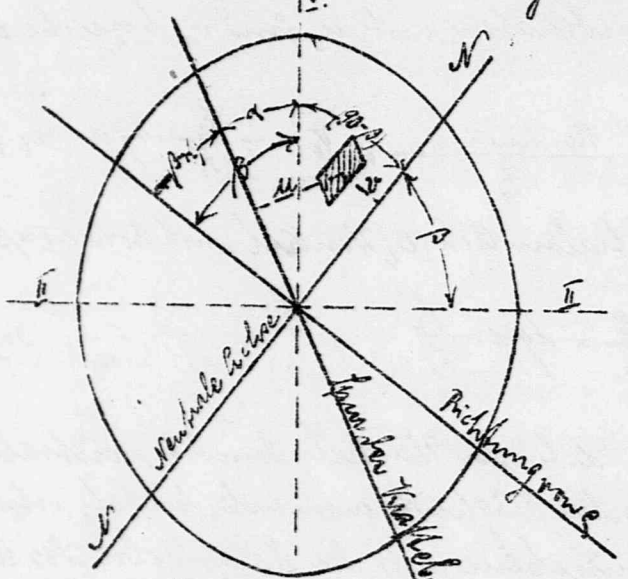
wo  $r$  = Widerstands halbmesser =  $W : F$

Der Krümmungsradius folgt mit Hilfe der Beziehung:

$$\sigma' = \frac{E \cdot e}{\rho} \sin \varphi = \frac{E \cdot e}{\sigma'} = \frac{E}{M \sqrt{\frac{\cos^2 \alpha + \sin^2 \alpha}{F_1^2}}} = \frac{E}{M \sqrt{F_1^2 \cos^2 \beta + F_2^2 \sin^2 \beta}}$$

$$\rho = \frac{E \cdot F_1 \cos \beta}{M \cos \alpha} = \frac{E \cdot F}{M \cos(\beta - \alpha)} \dots 38.)$$

[Anmerkung 6.] Die Gleichung 38.) kann auf drei verschiedenen Wegen folgender-  
 maßen abgeleitet werden:



In der Kräfteebene wirkt das äußere Moment  
 $M$ ; dieses Moment hat nach der nach  
 unbekanntem Richtung der Krümmung-  
 radius die Komponente

$$m = M \cos(\beta - \alpha).$$

Es ist also m derjenige Teil des äus-  
 seren Moments, der um die noch  
 unbekannte neutrale Achse dre-  
 hend wirkt. Mit diesem m müssen  
 demnach die Momente der inneren  
 Elementarkräfte  $\sigma \cdot dF$ , genommen  
 um die neutrale Achse, gerade im  
 Gleichgewicht sein, d. h. es ist

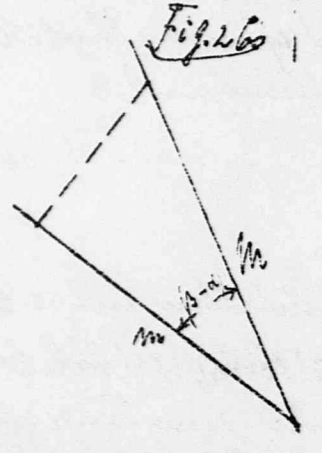
$$m = \int \sigma \cdot dF \cdot r, \text{ genommen für den}$$

ganzen Querschnitt. Kann man nach Formel 20.) allgemein  
 $\sigma = \frac{E \cdot r}{\rho}$ , also ist hier

$$m = \frac{E}{\rho} \int r^2 \cdot dF \text{ und } \int r^2 \cdot dF \text{ ist das Träg-}$$

heitsmoment  $F$  des Querschnitts, genommen um die  
 noch unbekannte neutrale Achse. Demnach

$$m = \frac{E \cdot F}{\rho} \cos(\beta - \alpha) \text{ Hieraus die}$$



Gleichungen

$$\rho = \frac{E \cdot F}{M \cos(\beta - \alpha)} ; \quad \sigma = \frac{M \cos(\beta - \alpha)}{F} \cdot r$$

$$\sigma' = \frac{M \cos(\beta - \alpha)}{F} \cdot e' = \frac{M}{W} = \frac{M}{F \cdot r} \dots 37.4)$$

Die Resultante der inneren Elementarkräfte  $[\sigma \cdot dF]$  auf der einen Seite der  
 neutralen Achse und die Resultante der inneren Elementarkräfte  $[\sigma \cdot dF]$  auf  
 der andern Seite der neutralen Achse müssen in der Spur der Kräfteebene ihre  
 Angriffspunkte haben, weil sie sonst dem äußeren Moment nicht das  
 Gleichgewicht halten könnten. Dahiernach die Elementarkräfte bezüglich  
 der Spur der Kräfteebene das Moment 0 haben, muss sein:

$$\int (\sigma \cdot dF) \cdot r = 0 \text{ oder da } \sigma = \frac{E \cdot r}{\rho},$$

$$\int r \cdot r \cdot dF = 0$$

Dieses Integral heißt Centrifugalmoment ( $m, r$ ).

Es muss also das Centrifugalmoment bezüglich der Kräfteebenen Spur und  
 der neutralen Achse gleich Null sein.

Diese Bedingung dient zur Auffindung der neutralen Achse bezw.  
 des Winkels  $\beta$ , der bisher unbekannt war, und liefert die Gleichung 35.)  
 Ist die Spur der Kräfteebene identisch mit einer Trägheitshauptachse,  
 so ist die neutrale Achse identisch mit der andern Trägheitshauptachse,  
 denn nur dann kann das Centrifugalmoment  $[\int r \cdot r \cdot dF = 0]$  sein.

Wird der Stahl durch konstruktive Mittel gezwungen, sich in der Belas-  
 tungsebene durchzubiegen, so steht die neutrale Achse (Trägheitsmoment =  $F$ )  
 senkrecht zu letzterer und die größte Spannung ergibt sich zu

$$\sigma' = \frac{M \cdot e}{F} \dots 37.4)$$

Es kommt hierbei soviel Reaktionskraft für Belastung hinzu, dass  
 die Lage der Resultanten von Belastung und Reaktionskraft der Durch-  
 biegung in der Belastungsebene resp. der Biegung um die zu dieser senk-  
 rechten Schwerachse entspricht.

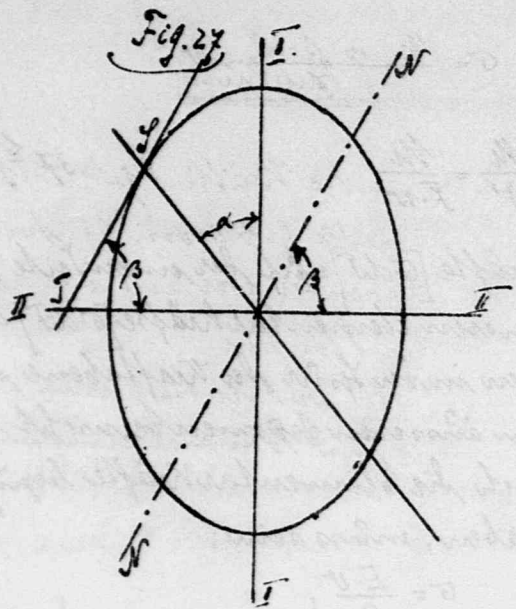
[Anmerkung 7.]

Man kann  $\alpha$  und  $\beta$  auch mit Hilfe der Centralellipse  
 erhalten, deren Gleichung  $\frac{x^2}{a^2} + \frac{y^2}{b^2} = 1$ , wobei

$$a = \frac{1}{\sqrt{F_2}}, \quad b = \frac{1}{\sqrt{F_1}}, \text{ oder auch } a = \frac{1}{i_2}, \quad b = \frac{1}{i_1} \text{ Hierbei be-}$$

stehen  $i_1$  und  $i_2$  die Trägheitsradien  $i_1 = \sqrt{F_1} : F$ ,  $i_2 = \sqrt{F_2} : F$ .

Zieht man im Punkte  $Q$  (siehe Fig. 27 auf folg. Seite), in welchem  
 die Centralellipse die Belastungsebene schneidet eine Tangente  $tt'$ ,



schneidet dieselbe den Winkel  $\beta$  mit der Hauptachse  $\bar{x}$ . Es ist nämlich die Gleichung der Tangente im Punkte  $S(x_1, y_1)$

$$\frac{x_1 y_1}{a^2} + \frac{y_1^2}{a^2} = 1 \text{ oder } y = \frac{b^2}{y_1} - x \frac{x_1 b^2}{y_1 a^2}$$

$$\text{also } \tan \beta = \frac{x_1 b^2}{y_1 a^2} = \tan \alpha \frac{b^2}{a^2} = \tan \alpha \cdot \frac{F_2}{F_1}$$

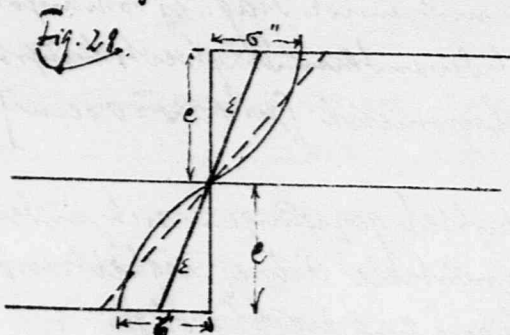
d. h. der gleiche Ausdruck wie oben in Gleichung 35).

[Anmerkung 8. Die bei Ableitung der Gleichung 23) und 24) bezugl.

36), 37) gemachte Voraussetzung, dass die

Querschnitte nicht nach der Biegung eben bleiben, bezugl. dass die Dehnungen und Spannungen proportional dem Abstand von der neutralen Achse wachsen, stimmt bei Eisen und Holz innerhalb der Elastizitätsgrenze genügend mit der Wirklichkeit überein. Außerhalb dieser Grenzen nehmen die Spannungen langsamer zu als die Dehnung, und die Krümmungen von der neutralen Achse. Die inneren Fasern werden stärker

in Mitleidenschaft gezogen, so dass  $\sigma'$  und  $\sigma''$  nicht in Wirklichkeit kleiner ergeben als nach 24) (siehe Punktweite  $d$ ), und zwar umso mehr, je mehr Material in der Nähe der neutralen Achse angeordnet ist. Außerhalb wird das Verhältnis  $\frac{\sigma}{\epsilon}$  innerhalb der Elastizitätsgrenze für Zug und Druck verschieden groß.



Berechnet man die Zugfestigkeit mit Hilfe der eigentlich nicht mehr gültigen Gleichung 24) aus Bruchversuchen (=  $K$ ), so ist dieselbe nach Vorstehendem im allgemeinen größer als die aus direkten Zugversuchen (=  $K'$ ).

Nach Barts Versuchen kann man für Gußeisen setzen:

$$K = \mu \cdot \sqrt{\frac{F}{F'}} \cdot K'$$

wo

$x$  = Abstand der Zugflächenschwerpunkte von der neutralen Achse

$e$  = Abstand der äusseren Faser von der neutralen Achse

$\mu = 1,2$ , wenn im Abstände  $e$  eine Guaste ( liegt.

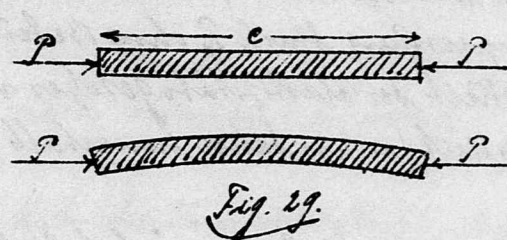
$= 1,5$ , wenn im Abstände  $e$  nur ein Punkt ( liegt.

Bei Timmer, bohem Steg (Normalprofile für Stahlisen) ist nach Schmajer's Versuchen annähernd  $K_0 = K'$

Die Gleichungen für die Formänderung, bezugl. die elastische Längs (21) und 22) sind innerhalb der Elastizitätsgrenze unbrauchbar; die Formän

derungen sind hier im Wirklichkeitskreis größer, als den Formeln entspricht.]

c) Beanspruchung auf Druck oder auf Krümmung



Ein achsel durch die Kräfte  $P$  getriebener Stab kann je nach der Größe von  $P$  entweder mit gerade bleibender oder mit ausgezogener Achse Widerstand leisten.

Für ersten Fall, wo der Stab nur auf

Druck beansprucht; die Formeln für Spannung und Formänderung sind analog denen bei Zugbeanspruchung:

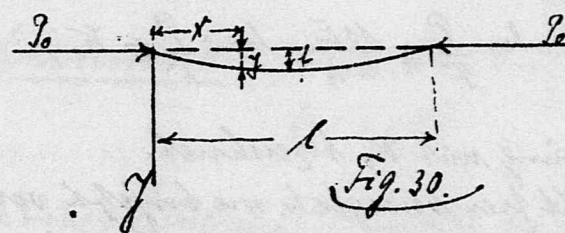
$$N = -P; Q = 0; M = 0; \sigma = -\frac{P}{F} \dots \dots \dots 39)$$

$$\text{Verlängerung } \Delta l = \int_0^l \frac{\sigma}{E} dx = -\frac{P}{E} \int_0^l \frac{dx}{F} \text{ bezugl. bei } F = \text{const.}$$

$$\Delta l = -\frac{Pl}{EF} = \frac{\sigma l}{E} \dots \dots \dots 40)$$

Genügende Sicherheit ist vorhanden, wenn

$$\sigma'' \leq k'' \text{ d. h. } F \geq \frac{P}{k''} \dots \dots \dots 39^a)$$



Für zweiten Falle, wo  $P$  eine gewisse Größe  $P_0$  erreicht haben muss, kommt die Beanspruchung auf Druck noch eine solche auf Biegung hinzu. Hier stehen uns der Stab in einem beliebigen

Kleinen Pfeil  $f$  seitlich herabgebogen, und müssen wir diejenige Kraft  $P_0$ , welche imstande ist, den Stab in der Ausbiegung zu erhalten. Die Differentialgleichung der elastischen Linie lautet:

$$E \cdot F \cdot \frac{d^2 y}{dx^2} = -M = -P_0 \cdot y, \text{ woraus bei konstantem } F \text{ für die}$$

Integration folgt

$$y = f \cdot \cos\left[\sqrt{\frac{P_0}{E \cdot F}} \left(\frac{l}{2} - x\right)\right], \text{ unter Berücksichtigung, dass}$$

$$y = f, \quad \frac{dy}{dx} = 0 \text{ für } x = \frac{l}{2}.$$

$$\text{Für } x=0 \text{ muss } y=0 \text{ sein, d. h. } \cos\left[\sqrt{\frac{P_0}{E \cdot F}} \cdot \frac{l}{2}\right] = 0, \text{ somit } \frac{l}{2} \cdot \sqrt{\frac{P_0}{E \cdot F}} = \frac{\pi}{2}$$

woraus

$$P_0 = \frac{\pi^2 \cdot E \cdot F}{l^2} = \text{nimmt } \frac{10 \cdot E \cdot F}{l^2} = 10 \cdot E \cdot F \left(\frac{l}{l}\right)^2 = \frac{10 E \cdot F}{\lambda^2} \text{ (übliche Formel)} \dots 41)$$

$$\text{wo } \lambda = \sqrt{\frac{F}{E}} = \text{Trägheitshalbmesser}$$

$$\lambda = \frac{l}{\pi} = \text{spezifische Länge.}$$

Hiermit ist die Kraft  $P_0$  (Knickkraft), welche den Stab in einer gewissen

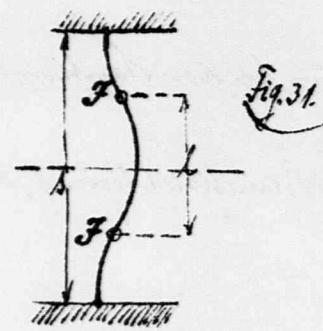
Ausbiegung  $f$  zu erhalten invariante ist, unabhängig von der Größe der Ausbiegung  $f$ . Selbstverständlich gilt dies nur innerhalb derjenigen Grenzen, die für die Differentialgleichung (Gl. 23) maßgebend sind, d. h. solange  $f$  so klein ist, dass  $(\frac{dy}{dx})^2$  gegenüber 1 vernachlässigt werden kann, und der Einfluss der Längenerweiterung infolge der Zusammenpressung durch  $P_0$  ohne Bedeutung ist. Ausserdem setzt Gleichung 41) die Gültigkeit des Elastizitätsgesetzes voraus; die Spannung  $\frac{P_0}{A} = 10 \cdot \frac{E}{\lambda^2} = K_0$  (Knickfestigkeit) muss daher innerhalb der Elastizitätsgrenze liegen.

Überschreitet  $P$  den Wert der Gleichung 41) (d. h.  $P_0$ ), so wächst die Ausbiegung nach aussermessen, die Formänderungen nehmen empfindlichere Werte an, wobei in der Regel der Bruch des Stabes eintritt, d. h. der Stab knickt ein. Ist dagegen  $P$  kleiner als  $P_0$ , so vermag es den Stab nicht in der Ausbiegung zu erhalten, der Stab schnellt in die Gerade zurück. Im Gleichgewichtszustand der Gleichung 41) kann hiernach als eine Art labiler Gleichgewicht betrachtet werden. Für die Anwendung darf  $P$  niemals so gross werden, dass dieser zweite Gleichgewichtszustand eintritt, sondern man es also nur mit gerade bleibendem Stab, d. h. mit einfacher Knickfestigkeit zu tun hat. Für Sicherheit wählt man derartige Dimensionen, dass erst die  $n$ -fache Belastung  $P$  des Brückens bewirken würde. Es muss daher ausser der Bedingung Gleichung 39)  $\sigma \leq k$ , auch die folgende erfüllt sein:

$$n \cdot P \leq \frac{10 E F}{\lambda^2} \quad \text{oder} \quad F \geq \frac{n \cdot S \cdot l^2}{10 E} \quad \text{oder} \quad \frac{P}{F} \leq \frac{10 E}{n \cdot \lambda^2} \quad \text{bzw.} \quad \frac{P}{F} \leq K_0, \dots 42)$$

wenn man die zulässige Knickspannung mit  $K_0$  bezeichnet.

Ist der Stab an dem einen Ende nicht frei beweglich, wie bis jetzt vorausgesetzt worden war, sondern mehr oder minder eingespannt, so ist in den vorstehenden Formeln für  $l$  nicht die Stablänge ( $s$ ), sondern die freie Länge, die sich zwischen den Inflexionspunkten  $F$  der elastischen Linie befindet, einzusetzen. Für beidseitig fest eingespannten Stab ist  $l = \frac{s}{2}$ .



$$P \leq \frac{10 E F}{n \cdot l^2} \leq \frac{40 E F}{n \cdot s^2} \dots 43)$$

Für einseitig eingespannten, andererseits frei geführten (in der Achsenrichtung!) Stab (Fig. 32) ist:  $l = ca. 0,7 s$ .

$$P \leq \frac{10 E F}{n \cdot l^2} \leq \frac{20 E F}{n \cdot s^2} \dots 44)$$

Für einseitig eingespannten, andererseits frei beweglichen Stab ist  $l = 2s$ .

$$P \leq \frac{10 E F}{n \cdot l^2} \leq \frac{2,5 E F}{n \cdot s^2} \dots 45)$$

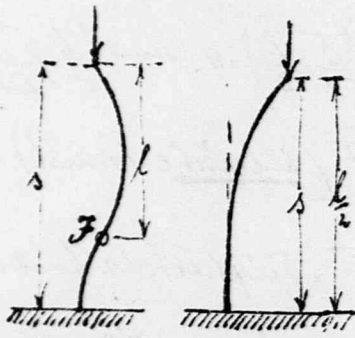


Fig. 32

Fig. 33

Fig. 33

[Anmerkung 1. Ist  $F$  nicht veränderlich, dann es jeweils proportional

dem Moment  $M(x = P_0 \cdot y)$  wird, so ergibt die Gleichung  $M = \frac{E F}{\lambda^2}$  für  $\lambda$  einen konstanten Wert, d. h. der Stab krümmt sich nach einem Kreisbogen von Radius  $\rho = \frac{E F}{M} = \frac{E F}{M_0} = \frac{E F}{P_0 \cdot f}$ , wo sich  $F$  und  $M_0$  auf Stabmitte beziehen.

Aus der Kreisgleichung folgt gewöhnlich  $f = \frac{l^2}{8 \rho}$  und somit schliesslich nach Eliminierung von  $\rho$ :

$$P_0 = \frac{8 E F}{l^2} \dots 46)$$

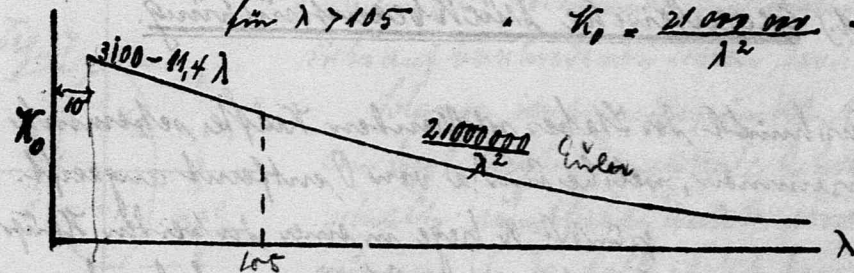
d. h. die Knickkraft  $P_0$  ist in diesem Fall nur 0,8 mal so gross wie bei einem Stab von konstantem Trägheitsmoment  $F$ .

Die vorstehenden Euler'schen Formeln sind nur solange gültig, als die Knickfestigkeit  $K_0 (= 10 \cdot \frac{E}{\lambda^2})$  innerhalb der Elastizitätsgrenze liegt. Ausserhalb derselben ist die Euler'sche Gleichung nicht mehr zutreffend; sie ergibt dann zu günstige Resultate. — Formeln, welche auch dann zu verwenden sind, wenn die Knickfestigkeit  $K_0$  innerhalb der Elastizitätsgrenze liegt, hat Schumajer durch Versuche ermittelt. Es sind dies die folgenden Formeln:

Holz: Von  $\lambda = 1,8$  bis  $\lambda = 100$  ist  $K_0 = 293 - 1,94 \lambda$  in  $\text{kg/cm}^2$  }  
 für  $\lambda > 100$  ist  $K_0 = \frac{1000000}{\lambda^2}$  in  $\text{kg/cm}^2$  } ..... 47)

Schweisseisen: Von  $\lambda = 10$  bis  $\lambda = 112$  ist  $K_0 = 3030 - 12,9 \lambda$  in  $\text{kg/cm}^2$  }  
 für  $\lambda > 112$  ist  $K_0 = \frac{20000000}{\lambda^2}$  " " } ..... 48)

Weiches Stahleisen (für welches die Zugfestigkeit  $K'$  kleiner als  $4000 \text{ kg/cm}^2$ ):  
 Von  $\lambda = 10$  bis  $\lambda = 105$  ist  $K_0 = 3100 - 11,4 \lambda$  in  $\text{kg/cm}^2$  }  
 für  $\lambda > 105$  ist  $K_0 = \frac{21000000}{\lambda^2}$  " " } ..... 49)



Hartes Stahleisen (für welches die Zugfestigkeit  $K' > 4000 \text{ kg/cm}^2$ ):  
 Von  $\lambda = 10$  bis  $\lambda = 105$  ist  $K_0 = 3210 - 11,6 \lambda$  in  $\text{kg/cm}^2$  }  
 für  $\lambda > 105$  ist  $K_0 = \frac{22000000}{\lambda^2}$  " " } ..... 49a)

Graues Gusseisen (in welcher Annäherung)  
 für  $\lambda < 80$  ist  $K_0 = 0,53 \lambda^2 - 120 \lambda + 7760$  in  $\text{kg/cm}^2$  }  
 für  $\lambda > 80$  ist  $K_0 = \frac{11000000}{\lambda^2}$  " " } ..... 50)

Für die Praxis soll die Spannung den  $n$ -ten Teil der Knickfestigkeit nicht überschreiten. Die Größe von  $n$  ist den Verhältnissen der Einzelfälle entsprechend zu wählen. Beispielsweise nach vom vorgehenden Lasteinwirkung, wo die Zeit



Zur Bildung ähnlicher Formänderungen fehlt, kann in kleiner gewählt werden als bei antarender Belastung; bei langen, dünnen Stäben ist mit Rücksicht auf möglichst geringe Formänderung ein grosser  $n$  vorzuziehen. Ferner ist auch der Grad der Genauigkeit, mit welchem die theoretischen Voraussetzungen (zentrische Belastung, Art der Befestigung der Stäbe, etc.) in praxi erfüllt sind, bei Bemessung der Grösse  $n$  in Betracht zu ziehen.

Für Brückenbau genügt es in den meisten Fällen, bei kürzeren Stäben  $n$  ebenso gross zu wählen, wie für reine Druckfestigkeit, bei sehr langen Stäben etwa  $n=5$ . Diesen Sicherheitsgraden entsprechen folgende Formeln für die Beziehung zwischen spezifischer Länge  $\lambda$  und zulässiger Spannung  $k_0$  pro  $\text{cm}^2$ :

Bei Schweiseneisen für  $\lambda < 100$  ;  $k_0 = 1000 - 6\lambda \text{ kg/cm}^2$   
 "  $\lambda > 100$   $k_0 = \frac{4000000}{\lambda^2}$  ..... 51)

Bei Flusseisen für  $\lambda < 100$   $k_0 = 1200 - 7,8\lambda \text{ kg/cm}^2$   
 "  $\lambda > 100$   $k_0 = \frac{4200000}{\lambda^2}$  " " ..... 51a)

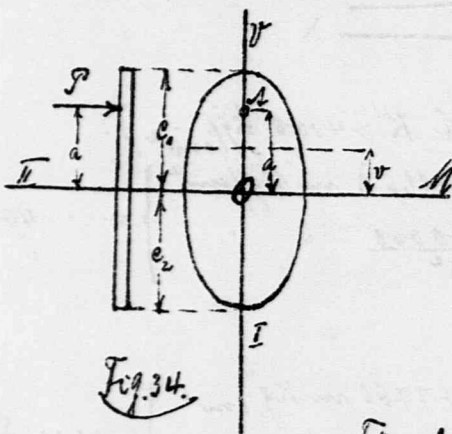
Während vorstehend die Beziehung zwischen  $\lambda$  und  $k_0$  durch je zwei Gleichungen gegeben wird, ist in der Annäherungsformel von Laisse und Schöbler diese Beziehung in der einen Formel ausgedrückt:

$$k_0 = \frac{k''}{1 + 0,00015 \lambda^2} \dots\dots\dots 51\frac{1}{2}$$

worin  $k''$  die zulässige Beanspruchung auf reinem Druck bedeutet, während  $k_0$  die mit Rücksicht auf die Druckgefahr abgeminderte zulässige Beanspruchung bezeichnet.

d.) Excentrische Druckbeanspruchung.

Die auf einen Querschnitt des Stabes wirkenden Kräfte setzen sich zu einer Resultierenden  $P$  zusammen, welche um  $a$  von  $O$  entfernt angreift. Der Angriffspunkt  $A$  liege in einer der beiden Halbachsen ( $x$ -Achse oder  $y$ -Achse). Man hat sodann  $M = -P \cdot a$ ,  $R = 0$ ,  $M_x = +P \cdot a$ .



Die Spannung in einem Punkte, dessen Ordinaten  $v$  ist, ist sodann innerhalb der Elastizitätsgrenze:

$$\sigma = -\frac{P}{F} - \frac{M \cdot v}{F} = -P \left( \frac{1}{F} + \frac{a \cdot v}{F} \right), \text{ worin } F \text{ auf}$$

Achse  $x$  bezieht.

Für die äussersten Punkte  $v = +e_1$  und  $v = -e_2$  folgt hieraus:

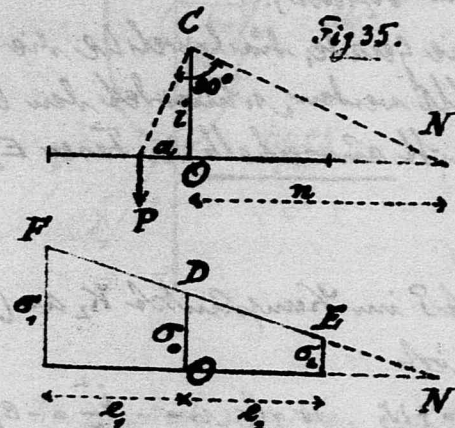
$$\left. \begin{aligned} \sigma_1 &= -\frac{P}{F} - \frac{M \cdot e_1}{F} = -\frac{P}{F} \left( 1 + \frac{a}{e_1} \right) \\ \sigma_2 &= -\frac{P}{F} + \frac{M \cdot e_2}{F} = -\frac{P}{F} \left( 1 - \frac{a}{e_2} \right) \end{aligned} \right\} \dots\dots\dots 52)$$

wenn man  $F = F \cdot i^2$ ;  $\frac{i^2}{e_1} = \alpha_1$ ;  $\frac{i^2}{e_2} = \alpha_2$  setzt.

$$\alpha_1 = \frac{i^2}{e_1} = \frac{I_1}{F \cdot e_1} \text{ und } \alpha_2 = \frac{i^2}{e_2} = \frac{I_2}{F \cdot e_2} \text{ heissen Widerstandshalbmesser.}$$

Für die Schwerpunktachse faser ist  $v=0$ , und somit  $\sigma_0 = \frac{P}{F}$ . Den Abstand der neutralen Achse erhält man aus  $\sigma_0 = 0$  bei

$$n = -\frac{F}{a \cdot F} = -\frac{F \cdot i^2}{a \cdot F} = -\frac{i^2}{a} \dots\dots\dots 53)$$

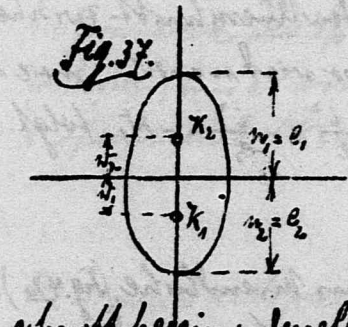


Hieraus lässt sich  $n$  wie obenstehend angegeben konstruieren. Man trage im Schwerpunkt  $O$  die Lotrechte  $OC = i$  auf, verbinde  $C$  mit dem Kraftangriffspunkt  $P$  und ziehe dann  $CN \perp CP$ . Die Strecke  $ON$  stellt sodann  $n$  dar.

Für die Lage  $N$  der neutralen Achse auf diese Weise bestimmt, so lassen sich die Spannungen  $\sigma_1$  und  $\sigma_2$  der äussersten Fasern leicht ermitteln.

Man trage im Schwerpunkt die dortige Spannung  $\sigma_0 = \frac{P}{F}$  auf und verbinde den Mittelpunkt  $D$  mit dem Punkt  $N$  durch die Linie  $ND$ . Durch die Ordinaten dieser Linie werden die Spannungen in den einzelnen Querschnittsfasern dargestellt. Insbesondere gehören zu den Abszissen  $e_1$  und  $e_2$  der äussersten Fasern als Ordinaten die Spannungen  $\sigma_1$  und  $\sigma_2$ .

Die neutrale Achse geht durch die äusserste Faser  $e_2$ , wenn  $n = -e_2$ ; die Kraft  $P$  muss dann im Abstand  $a = \frac{i^2}{e_2} = \alpha_2$  angreifen. Der entsprechende Angriffspunkt heisst Kernpunkt, dessen Abstand  $\alpha_2$  der Kernradius ist. Es ist also der Kernradius identisch mit dem Widerstandshalbmesser. In gleicher Weise erhält man den Kernradius  $\alpha_1$ , wenn die neutrale Achse durch die äusserste Faser  $e_1$  gehen soll. Kernpunkt und zugehörige neutrale Achse liegen stets auf verschiedenen Seiten der Schwerpunktsachse.



Solange der Angriffspunkt  $A$  zwischen den Kernpunkten liegt, liegt die neutrale Achse ausserhalb des Querschnitts; sämtliche Punkte desselben erhalten Druckspannungen. Andernfalls rückt die neutrale Achse in den Querschnitt hinein; derselbe erhält teils Druck-, teils Zugspannungen.

Greift  $P$  im Schwerpunkt  $S$  an, so ist  $a=0$ , und es folgedessen  $n = -\frac{i^2}{0} = \infty$ , die neutrale Achse rückt ins Unendliche; die Gerade, durch welche sie  $\sigma$  dargestellt werden, ist dem Querschnitt parallel. Siehe Fig. 38.

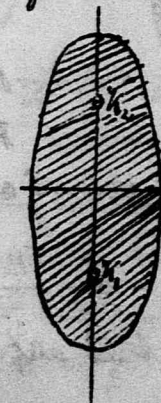
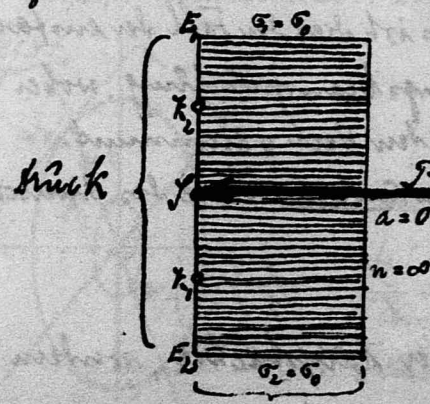
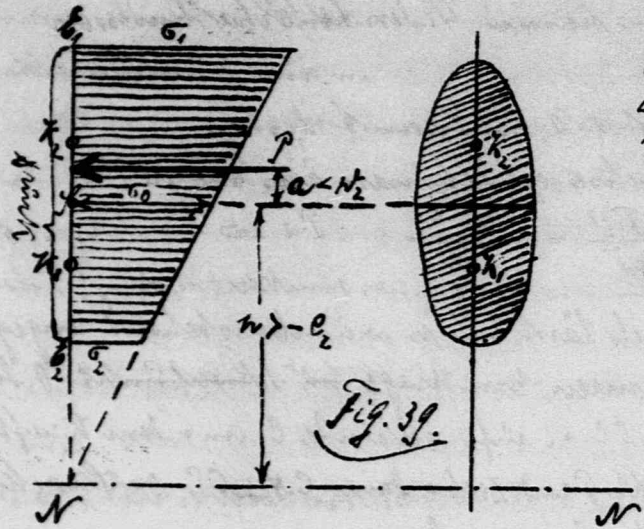
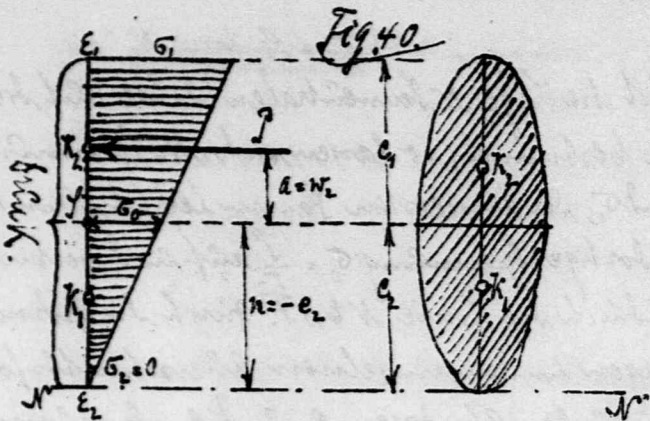


Fig. 38.



Greift  $P$  zwischen dem Schwerpunkt  $G$  und dem Kernpunkt  $K_2$  an (Fig. 39), d. h. ist  $a < +w_2$ , so ist  $n > -\frac{i^2}{w_2}$ , d. h.  $n > -e_2$  (wobei größer- oder kleinersein sich auf den Absolutwert bezieht).

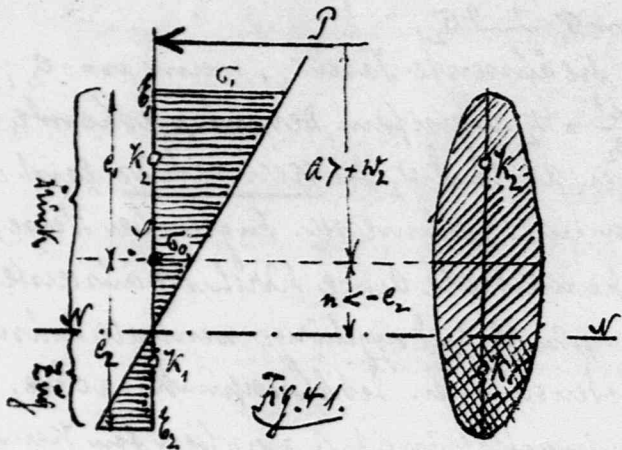
Die Gerade, durch welche die  $\sigma$  dargestellt werden, schneidet den Querschnitt innerhalb der Faser  $E_2$ .



Greift  $P$  im Kernpunkt  $K_2$  an (Fig. 40), d. h. ist

$$a = +w_2, \text{ so ist } n = -\frac{i^2}{w_2} = -e_2$$

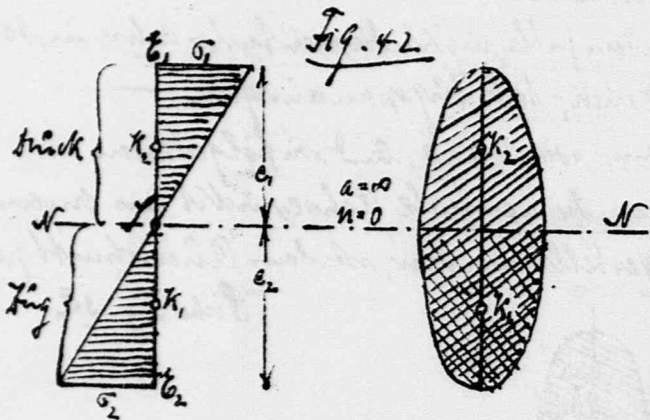
Die Gerade, durch welche die  $\sigma$  dargestellt werden, schneidet den Querschnitt in der Faser  $E_2$ .



Greift  $P$  innerhalb des Kernpunktes  $K_2$  an, d. h. ist

$$a > +w_2 \text{ so ist } n < -\frac{i^2}{w_2}, \text{ d. h. } n < -e_2 \text{ absolut genommen. (Fig. 41.)}$$

Die Gerade, welche die  $\sigma$  darstellt, schneidet den Querschnitt zwischen  $E_2$  und  $J$ .  
Ist  $a = e$ , so wird  $n = -w_2$ , weil aus  $n = -\frac{i^2}{a} = -\frac{i^2}{e} = -w_2$  folgt.



Greift  $P$  im Unendlichen (Fig. 42), d. h. wird  $a \pm \infty$ , so ist  $n = \pm \frac{i^2}{\infty} = 0$ .

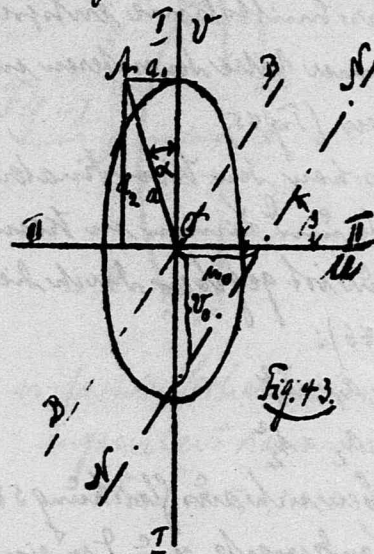
Die Gerade, welche die  $\sigma$  darstellt, schneidet den Querschnitt im Schwerpunkt  $J$ .

Es ist dies der Fall der einfachen Biegebeanspruchung, wobei  $P$  gleichzeitig den Wert 0 annimmt.

Analog liegen die Verhältnisse, wenn  $P$  auf der anderen Seite des Querschnittes angreift.

Liegt der Angriffspunkt  $A$  auf keiner Hauptachse, sondern auf der

bekannteren Achse  $BB$ , welche mit Achse  $i$  den Winkel  $\alpha$  bildet, so denke man sich das Kraftmoment  $Pa$  in seine 2 Komponenten parallel den Hauptachsen zerlegt:



$$M_1 = M \cdot \sin \alpha = P \cdot a \cdot \sin \alpha = P \cdot a_1 \text{ und } M_2 = M \cdot \cos \alpha = P \cdot a \cdot \cos \alpha = P \cdot a_2$$

Die Beanspruchung eines Punktes  $(u, v)$  ist dann:

$$\sigma = \frac{P}{F} - \frac{P \cdot a_1 \cdot \cos \alpha \cdot v}{I_2} - \frac{P \cdot a_2 \cdot \sin \alpha \cdot u}{I_1} \dots 55.)$$

Die Gleichung der neutralen Faser erhält man aus  $\sigma = 0$  zu:

$$0 = \frac{1}{F} + \frac{a_1 \cdot \cos \alpha \cdot v}{I_2} + \frac{a_2 \cdot \sin \alpha \cdot u}{I_1} \dots 56.)$$

Der Winkel zwischen neutraler Achse und Achse  $BB$  folgt hieraus:

$$\tan \beta = \frac{v}{u} = \tan \frac{I_2}{I_1} \alpha \text{ (in Übereinstimmung mit Gleichung 55.)} \dots 57.)$$

Die Abschnitte auf den Hauptachsen zu:

$$u_0 = -\frac{I_1}{F \cdot a_1 \cdot \sin \alpha} = -\frac{i_1^2}{a_1} \text{ und } v_0 = -\frac{I_2}{F \cdot a_2 \cdot \cos \alpha} = -\frac{i_2^2}{a_2} \dots 58.)$$

Umgekehrt erhält man bei gegebener neutraler Achse  $(u_0, v_0)$  die Koordinaten des entsprechenden Angriffspunktes zu

$$a_1 = -\frac{i_1^2}{u_0} \text{ und } a_2 = -\frac{i_2^2}{v_0} \dots 59.)$$

Die Größtmomente der Spannungen erhält man in denjenigen Fasern, welche am weitesten (um  $e$ ) von der zur neutralen Achse parallelen Biegeachse  $BB$  entfernt sind (Koordinaten  $u', v'$ ) (Abb. 44):

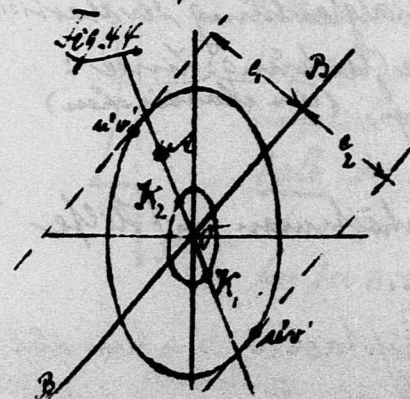
$$\sigma = \frac{P}{F} - \frac{P \cdot a_1 \cdot u'}{I_2} - \frac{P \cdot a_2 \cdot v'}{I_1} \dots 60.)$$

bez. nach entsprechender Umformung, siehe Gleichung 57<sup>o</sup>).

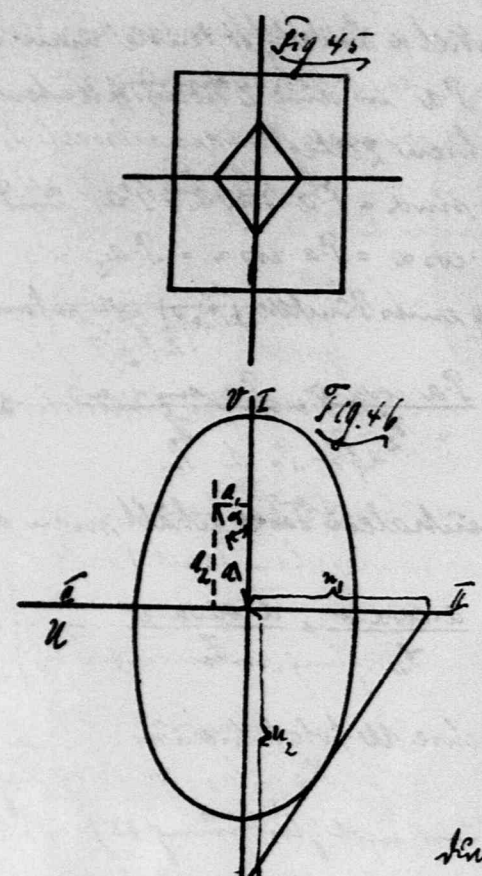
$$\sigma = \frac{P}{F} - \frac{P \cdot a \cdot e \cdot \cos(\beta - \alpha)}{I} = \frac{P}{F} (1 + a \cdot e \cdot \cos(\beta - \alpha)) = -\frac{P}{F} (1 + \frac{e}{w}) \dots 60^a.)$$

wo  $F$  Trägheitsmoment für die Biegeachse  $BB$ ,  $i^2 = \frac{I}{F}$ ,  $\cos = \frac{i^2}{a \cdot \cos(\beta - \alpha)} = 0x$  heraufgerollte Ansehenswert ergibt sich zu

$$F = \frac{F}{K} (1 + \frac{a}{w}) \dots 59^a.)$$



Denkt man sich die neutrale Achse nach und nach mit parallelen Umföhrungstangenten des Querschnitts zusammenfallen, sind bestimmt jeweils die zugehörigen Koordinaten des Angriffspunktes mit Hilfe der Gleichungen 57.) und 59<sup>a</sup>.)



so erhält man die Kernlinie des Querschnitts (Fig. 44) einer Geraden der Querschnittskernlinie entspricht eine Seite der Kernlinie; einer Seite der anderen entspricht eine Gerade der letzteren. (Fig. 45)  
 Die Beziehungen zwischen den Koordinaten, die entsprechenden Punkte sind Linien im Kernquerschnitt und Umhüllungsfigur ist gegeben durch die Gleichungen (siehe Fig. 46):

$$m_1 \cdot a_1 = k_1^2$$

$$m_2 \cdot a_2 = k_2^2$$

Diese Gleichungen ergeben sich aus Gleichung 58, indem man für  $m_0$  und  $v_0$  die Tangente  $m_1$  und  $m_2$  einführt.

Insoweit  $l_0$  des Kernes angreifende Kräfte erzeugen min Druckspannungen im Querschnitt.

Die Beanspruchung der äusseren Fasern  $e_1$  und  $e_2$  durch die im Abstande  $l_0 = a$  angreifende Kraft  $P$  kann

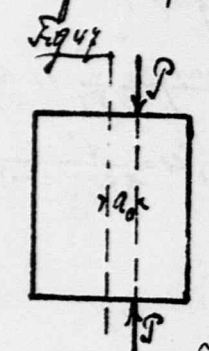
mit Hilfe der Kernlinie angedeutet werden durch (Fig. 44):

$$\sigma_1 = -\frac{P}{F} \left( 1 + \frac{a k_1}{O k_1} \right) = -\frac{P}{F} \cdot \frac{A k_1}{O k_1}$$

$$\sigma_2 = -\frac{P}{F} \left( 1 - \frac{a k_2}{O k_2} \right) = +\frac{P}{F} \cdot \frac{A k_2}{O k_2}$$

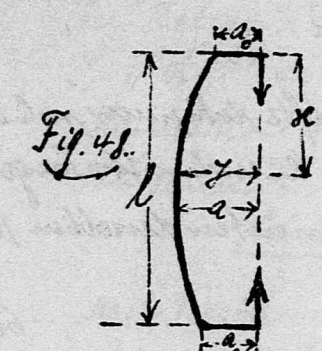
Es liegt hierbei der in die Gleichung einzuführende Kernradius  $O k_1$  oder  $O k_2$  jeweils auf der entgegengesetzten Seite wie die betrachtete äussere Faser  $e_1$  oder  $e_2$ , das der Kernradius  $O k_1$  gleichzeitig auch den Widerstandsradius  $w_1$  darstellt, folgt daraus, dass  $\sigma_1 = \frac{P}{F} \left( 1 + \frac{a}{w_1} \right)$  gleich Null wird, falls  $P$  im Punkte  $k_1$  angreift. Man hat dann  $a = O k_1 = -w_1$ .

Betrachten wir nun einen Stab, dessen Endflächen durch die min zentrischen Kräfte  $P$  gedrückt werden, so ist für die zwischenliegenden Stabquerschnitte die exzentrisität  $a$  ebenfalls gleich  $a_0$ , wenn der Einfluss der Stabbiegungen auf  $a$  vernachlässigt werden kann, wie das bei kürzeren Stäben der Fall ist.



Insoweit die bisher entwickelten Formeln direkt anwendbar. Der Stab muss einen berastigen Querschnitt haben, das  $\sigma_{max} = k_1$ .  
 Bei längeren Stäben muss die Vergrößerung der Exzentrisität durch die Biegung berücksichtigt werden. Innerhalb der Elastizitätsgrenze lautet die Differentialgleichung der Elastischen Linie:  $E \cdot F \cdot \frac{d^2 y}{dx^2} = -P \cdot y$ , woraus die Gleichung folgt:  $y = a \cdot \cos \left( \frac{x}{l} \right) \sqrt{\frac{P}{E \cdot F}}$  (der Elastischen)

Den Biegezugspfeil in der Mitte ( $x = l/2$ ) erhält man mit Hilfe der Abkürzung  $y = a_0$  für  $x = 0$  zu  $a = \frac{a_0}{\cos \frac{l}{2} \sqrt{\frac{P}{E \cdot F}}}$ .



Wird  $P$  in einer Äquipolaren, so erhält man aus Gleichung 52) den Absolutwert der grössten Druckspannung zu

$$\sigma = \frac{P}{F} \left( 1 + \frac{a}{w} \right)$$

Erreicht seinen Maximalwert  $P_0$  im Augenblick des Bruchs, wo  $\sigma =$  Druckfestigkeit  $k_1$ . Derselbe ergibt sich zu:

$$P_0 = F \cdot k_1^2 \left( 1 + \frac{a}{w} \right) = F \cdot k_1^2 \left( 1 + \frac{a_0}{w \cdot \cos \frac{l}{2} \sqrt{\frac{P}{E \cdot F}}} \right) \dots 61)$$

an welcher Gleichung  $P_0$  durch Probieren zu ermitteln ist. Bei n-facher Sicherheit ist dann die zulässige Druckkraft  $P = \frac{1}{n} \cdot P_0$ .

Angenähert kann man den erforderlichen Querschnitt  $F$  setzen:  
 $F = F_0 + F_1$ , wo  $F_0 = \frac{P}{k_0}$  entspricht einer zentrischen Druckkraft  $P$   
 $F_1 = \frac{P \cdot a_0}{w \cdot k}$  entspricht einem Biegemoment  $P \cdot a_0$  ... 62)

wenn  $k_0$  die zulässige spezifische Druckspannung,  $k$  die zulässige Biegezugspannung ist. Es ist dann schliesslich:

$$F = P \left\{ \frac{1}{k_0} + \frac{a_0}{w \cdot k} \right\} \dots 63)$$

Diese Formel ist genau richtig an den beiden Grenzen, d. h. für  $a_0 = 0$  (zentrischer Druck) ist  $F = \frac{P}{k_0}$  und für  $M = P \cdot a_0$  (reine Biegung) ist  $F = \frac{M}{w \cdot k} = \frac{P \cdot a_0}{w \cdot k}$ .

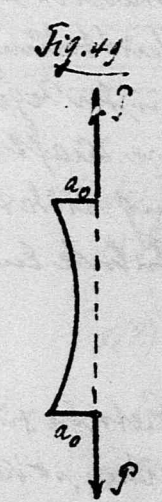
Zwischen den Grenzen gibt die Formel mit genügender Annäherung den erforderlichen Querschnitt. Setzt man  $\frac{1}{k} = \frac{k_0}{k \cdot k_0}$ , so hat man:

$$F = \frac{P}{k_0} \left( 1 + \frac{k_0}{k} \cdot \frac{a_0}{w} \right) \dots 64)$$

wo in das Verhältnis  $\frac{k_0}{k}$  etwa nach der Formel 51) genommen werden kann. Nimmt man  $\frac{k_0}{k} = 1$ , so erhält man etwas zu ungünstig:

$$F = \frac{P}{k_0} \left( 1 + \frac{a_0}{w} \right) \dots 65)$$

e. Exzentrische Zugbeanspruchung.



Dafür sind die Gleichungen 52-60 mit Berücksichtigung des geringeren Spannungsinnes direkt verwendbar. Die ungünstigsten Querschnitte sind die Endquerschnitte, für welche die Exzentrisität bekannt ist  $a = a_0$ . Bei den mittleren Querschnitten wird die Exzentrisität durch die Biegung des Stabes verringert, somit deren Beanspruchung gegenüber den Endquerschnitten vermindert. Ausserhalb der Elastizitätsgrenze ergeben die fraglichen Gleichungen etwas zu ungünstige Werte für die Spannungen, als den früher bei der Biegezugbeanspruchung erörterten Gründen.

f. Beanspruchung auf Schweiß (abschneiden)

Die auf den Stabquerschnitt wirkenden äußeren Kräfte reduzieren sich auf die äußere Kraft  $Q$ , welche in den einzelnen Punkten des Querschnitts Tangentialspannungen  $\tau$ , erzeugt. Bezeichnet man die Komponenten desselben parallel  $Q$  mit  $\tau_x$ , so muss sein

$$Q = \int \tau_x dF \dots \dots \dots 66)$$

Bezüglich der Verteilung des  $\tau_x$ , nimmt man bei Berechnung von Nietem, Schrauben, Keilen etc. in der Regel an, dass  $\tau_x$  in allen Punkten des Querschnitts gleich groß und parallel  $Q$  gerichtet sei, so dass also  $\tau = \tau_x$ ,  $Q = \tau \cdot F$ ;  $\tau = \frac{Q}{F}$  ... 67)

eine Annahme, welche gut mit den Festigkeitsversuchen übereinstimmt. Die Gleichung 26)  $\tau = \frac{Q \cdot r}{I}$ , welche bei gleichzeitiger Biegebeanspruchung das Verteilungsgesetz von  $\tau$  angibt, ist hier, wo  $M=0$ , nicht mehr zutreffend. Sie beruht auf der Annahme, dass die Querschnitte eben bleiben, bezw. dass die Normalspannungen  $\sigma$  proportional dem Abstand von der Schwerpunktachse zunehmen. Diese Annahme ist immer weniger richtig, je mehr der Einfluss von  $Q$  gegenüber dem von  $M$  überwiegt, und daher im Grenzfall  $M=0$  unzulässig.

Nietverbindungen.

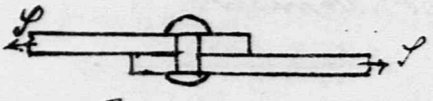


Fig. 50

Für einen eingezogene Niet erhält beim Erhalten Längsspannungen und pressen die Platte aufeinander, wodurch Reibung zwischen denselben entsteht (ca 800-1000 kg pro qcm Nietquerschnitt.) Solange die zu übertragende Kraft  $P$  kleiner als diese Reibung  $R$  ist, wird der Niet nicht auf Abschneiden in Anspruch genommen. Erst wenn  $P > R$ , wird der Rest  $P - R$  durch Schweißspannungen des Niets übertragen. In der Anwendung ist  $P$  meist kleiner als  $R$  bei gut gelagerten neuen Nieten; es treten daher in denselben keine Schweißspannungen infolge der Kräfte  $P$  auf. Da jedoch auf durchgehends sardellose Nietarbeit nicht gerechnet werden kann, außerdem einzelne Nieten durch Erschütterung los werden können, so sieht man beim Berechnen der Nieten in der Regel von der Wirksamkeit der Reibung ab, und nimmt an, die ganze Kraft  $P$  werde durch Schweißspannungen des Niets übertragen. Die Reibung bildet dann noch eine Art Reserve für sonstige, nicht in Rechnung geführte Einflüsse.

Einschnittiger Niet.

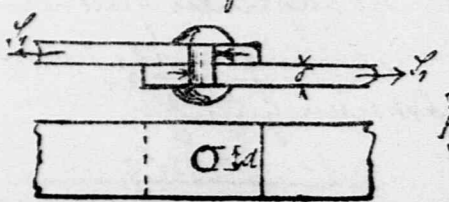


Fig. 51

Soll die Schweißspannung des Niets die zulässige Spannung  $t$  nicht überschreiten, so kann ein einschnittiger Niet höchstens eine Kraft  $P = \frac{\pi d^2}{4} t$  übertragen. Soll der Druck auf die Nietlochwand

den Betrag  $K''$  nicht überschreiten, so kann der Niet höchstens die Kraft  $P_1 = P \cdot K''$  übertragen.

Unmittelbar der Werte von  $t$  und  $K''$  muss zwischen Schweißeisen und Flusseisen unterschieden werden.

Schweißeisen

Flusseisen.

Nach Vorstehendem kann mit Rücksicht auf die bessere Bräutlichkeit des Nietmaterials gesetzt werden

Ein wesentlicher Unterschied in der Bräutlichkeit des Materials der Nietem und der zu verbindenden Konstruktionssteile besteht hier nicht. b)  $t = 0,8 K$

a)  $t = 0,7 K$

wo  $K$  der zulässige Spannungskoeffizient für die Beanspruchung der betr. Eisenart auf Zug oder Druck ist.

Für den Druck auf die Nietlochwand ist anzusetzen:

a)  $K'' = 2,5 t = 2,25 K$

b)  $K'' = 2,8 t = 2,25 K$

Das hohe Maß von  $K''$  ist in der besonderen Form der gedrückten Körper begründet. — Bei gleicher Sicherheit gegen Druck und Schweiß muss sein:

a)  $\frac{\pi d^2}{4} t = d \cdot d \cdot 2,5 K$

b)  $\frac{\pi d^2}{4} t = d \cdot d \cdot 2,8 K$

68a)  $d_{\text{min}} = 3,2 d$

68b)  $d_{\text{min}} = 3,6 d$

Für  $d < 3,2 d$  gilt:

Für  $d < 3,6 d$  gilt:

69a)  $P_1 = \frac{\pi d^2}{4} t = 0,7 d^2 K$

69b)  $P_1 = \frac{\pi d^2}{4} t = 0,63 d^2 K$

Für  $d > 3,2 d$  gilt:

Für  $d > 3,6 d$  gilt:

70a)  $P_1 = d \cdot d \cdot K'' = 2,25 d \cdot d \cdot K$

70b)  $P_1 = d \cdot d \cdot K'' = 2,25 d \cdot d \cdot K$

In der Regel ist  $d < 3,2 d$  resp.  $3,6 d$ , als  $t$  wird bei einschnittigen Nieten in der Regel Gleichungen 69a resp. 69b maßgebend.

Zweischchnittiger Niet.



Fig. 52

Ein zweischchnittiger Niet kann ohne Überanstrengung übertragen, entweder:

$P_1 = \frac{2 \pi d^2}{4} t = \frac{\pi d^2}{2} t$  oder  $P_1 = t \cdot d \cdot K''$

Beide Gleichungen liefern dasselbe Resultat für:

a)  $\frac{\pi d^2}{2} t = d \cdot d \cdot 2,5 K$

b)  $\frac{\pi d^2}{2} t = d \cdot d \cdot 2,8 K$

71a)  $d_{\text{min}} = 1,6 d$

71b)  $d_{\text{min}} = 1,8 d$

Für  $d < 1,6 d$  gilt:

Für  $d < 1,8 d$  gilt:

72a)  $P_1 = \frac{\pi d^2}{2} t = 1,4 d^2 K$

72b)  $P_1 = \frac{\pi d^2}{2} t = 1,26 d^2 K$

Für  $d > 1,6 d$  gilt:

Für  $d > 1,8 d$  gilt:

73a)  $P_1 = d \cdot d \cdot K'' = 2,25 d \cdot d \cdot K$

73b)  $P_1 = d \cdot d \cdot K'' = 2,25 d \cdot d \cdot K$

Meist ist  $d > 1,6 d$  resp.  $1,8 d$ ; also sind bei zweischmittigen Nietern meist die Gleichungen 73<sup>a</sup>) und 73<sup>b</sup>) maßgebend.

Annieten eines Stabes an einen andern.



Sind in Niete vorhanden, und nimmt man an, dass sich die Stabkraft gleichmäßig auf dieselben verteile, so kann man setzen:  $S = n \cdot S_1$ ;  $n = \frac{F}{S_1}$

wo  $S_1$  den vorstehenden Gleichungen zu entnehmen ist; man erhält sodann die erforderliche Nietzahl.

I. Einschmittige Nietern.

wenn  $d < 3,2 d$   
74<sup>a</sup>)  $n = \frac{F}{0,7 d^2 K} = \frac{F}{0,7 d^2}$

wenn  $d < 3,6 d$   
74<sup>b</sup>)  $n = \frac{F}{0,63 d^2 K} = \frac{F}{0,63 d^2}$

wenn  $d > 3,2 d$   
74<sup>a</sup>)<sup>\*</sup>  $n = \frac{F}{2,25 d \cdot d \cdot K} = \frac{F}{2,25 d^2}$

wenn  $d > 3,6 d$   
74<sup>b</sup>)<sup>\*</sup>  $n = \frac{F}{2,25 d \cdot d \cdot K} = \frac{F}{2,25 d^2}$

II. Zweisechmittige Nietern.

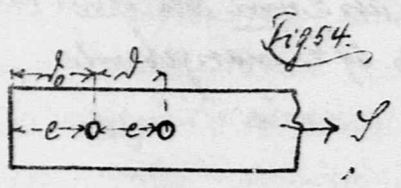
wenn  $d < 1,6 d$   
75<sup>a</sup>)  $n = \frac{F}{1,4 K d^2} = \frac{F}{1,4 d^2}$

wenn  $d < 1,8 d$   
75<sup>b</sup>)  $n = \frac{F}{1,26 K d^2} = \frac{F}{1,26 d^2}$

wenn  $d > 1,6 d$   
75<sup>a</sup>)<sup>\*</sup>  $n = \frac{F}{2,25 d \cdot d \cdot K} = \frac{F}{2,25 d^2}$

wenn  $d > 1,8 d$   
75<sup>b</sup>)<sup>\*</sup>  $n = \frac{F}{2,25 d \cdot d \cdot K} = \frac{F}{2,25 d^2}$

wo  $F$  gleich dem nutzbaren Stabquerschnitt  $= \frac{F}{K}$  ist.



Kann die Nietern nicht aus dem Stabe ausschließen, muss deren Abstand in der Kraft- richtung so gross gewählt werden, dass die in den eventuellen Schlitzflächen auftretenden Schubspannungen unter dem zulässigen Masse  $t_2$  bleiben.

Berechnet man zur Sicherheit die Länge der Schlitzfläche um gleich dem letzten Abstände  $e$ , so muss sein:

Bei einschmittigen Nietern:  $S_1 = \frac{\pi d^2}{4} t = 2e d t$ ;  $t_2$  für Stäbe aus Schmiedeeisen längs der Stabfaser etwa  $0,7 t$ , wo  $t$  die für die Nietern zulässige Schubbeanspruchung ist. Bei schmiedeeisernen Blechen und bei Flussisen lässt sich setzen  $t_2 = 0,9 t$ .

Für Schmiedeeisenstäbe hat man nun  $\frac{\pi d^2}{4} t = 2e d \cdot 0,7 t$ ;  $e = \frac{\pi d^2}{5,6 d} = 0,56 \frac{d}{t}$

Für Bleche und Flussisen " " " "  $e = 0,44 \frac{d}{t}$

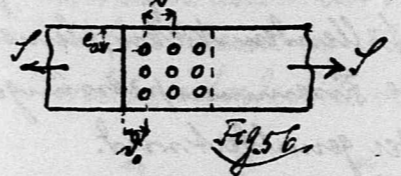
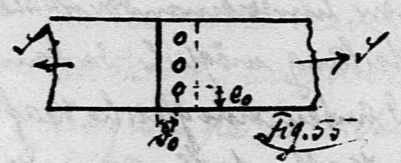
Bei Zweisechmittigen Nietern:  $S_1 = d \cdot d \cdot 2,5 t = 2,5 d^2 t$

Für Schmiedeeisen folgt . . . . .  $e = 1,8 d$   
Für Bleche und Flussisen . . . . .  $e = 1,4 d$  } . . . . . 77)

Die Nietleitung  $S$  und den Nietabstand  $S_0$  von Rande erhält man dann schliesslich aus den Gleichungen:

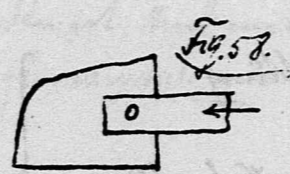
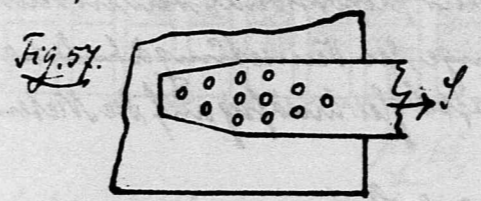
$S = e + d$ ;  $S_0 = e + \frac{d}{2}$  . . . . . 78)

Zu bemerken ist, dass bei Festigkeitsversuchen die Nietern stets in einem nicht wie wir oben angenommen in zwei Flächen ausschließen, was durch das aufziehen starker Biegezugspannungen zu erklären ist. Doch liefern vorstehende Gleichungen im allgemeinen ausreichende Dimensionen. Bei Blechen ist nach Festmageris Versuchen ausreichende Sicherheit vorhanden, wenn  $S_0 = 2d$  (einschichtige Anordnung vgl. Fig. 55) bzw.  $S_0 = 1,6d$  (mehrschichtige Anordnung, vgl. Fig. 56)



$S$  wählt man für die Ausführung nicht unter  $3d$ , max  $S = 10d$  oder auch  $16d$ . Für die Randeentfernung  $e_0$  senkrecht zur Kraft- richtung kann man setzen min  $e_0 = 1,5d$ , max  $e_0 = 2,5d$ ; in Ausnahmefällen bis  $4d$ . Die Nietern sind möglichst symmetrisch zur Stab- achse zu gruppieren, zum mindesten jedoch so, dass ihre Schwerlinie mit der Stabachse zusammenfällt. Andernfalls verteilt sich die Kraft  $S$  ungleichmäßig

auf die einzelnen Nietern.



Bei Flachisen empfiehlt sich nebenstehende (Fig. 57) Dreiecksgruppierung, da bei derselben der Stabquerschnitt nur für einem Nietquerschnitt geschwächt wird. — Bei Druckstäben findet theoretisch keine Nieterschwächung statt, da die Kraft direkt in den Niet übergeht. Man bringt trotzdem in der Regel die Nietlöcher in Abzug, um für Druckstäbe keine kleineren Querschnitte zu erhalten als für die entsprechenden Zugstäbe.

Nun bei grösseren Nietzahlen die Gruppierung entsprechend zu entwerfen, wendet man häufig nebenstehendes graph. Verfahren an, in dem man sich den Stab in  $n$  Bänder zerlegt denkt, welche dann die  $n$  Nietern geschlungen sind. Bandbreite  $b = \frac{t}{2n}$ , wo  $b$  = nutzbare Stabbreite =  $\frac{F}{2n}$ . Unter den Nietern verläuft sich jeweils das Band auf die früher berechnete Seite  $e$ .

In gewissen Fällen ist die Annahme einer gleichmäßigen Verteilung der Kraft  $S$

auf alle  $n$  Niete ziemlich ungenau. Wird ein schwacher Stab an einem sehr starken mit hintereinander stehenden Niete angebracht, so kann sich derselbe zwischen 1 und 3 nur wenig, und zwar soviel, als die Deformationen der Niete erlaubt, verlängern, da der starke Stab sich verhältnismäßig nur wenig ausdehnt. Die Länge  $l_3$  bleibt daher ziemlich unverändert, die zugehörige Dehnung  $\epsilon$  ist sehr klein, und somit auch die Spannung  $\sigma$  der betreffenden Strecke. Der größte Teil der Kraft  $P$  muss daher durch Niet 1 gehen, 2 und 3 erhalten nur wenig.



Fig. 60.

Ähnliche Verhältnisse treten auch bei gleich starken Stäben auf, falls viele Niete hintereinander angeordnet sind. Bei 6 Niete z. B. sind gleichmäßiger Verteilung der Kraft  $P$  auf dieselben müsste auf der Strecke  $l_1$  unten eine Kraft  $\frac{1}{6} P$  und auf der Strecke  $l_2$  oben eine Kraft  $\frac{1}{6} P$  wirksam sein, was jedoch mit Rücksicht auf die hierbei auftretende ungleiche Dehnung der beide Halbketten nicht möglich ist. Es muss daher in Wirklichkeit eine andere, ungleichmäßige Kraftverteilung stattfinden.

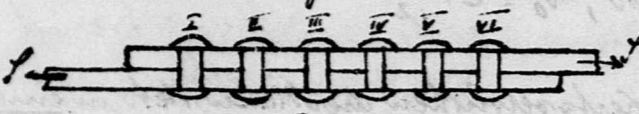


Fig. 61.

Nur bei zwei Nietreihen hintereinander ist theoretisch eine gleiche Kraftverteilung möglich, da dann zwischen den Niete oben und unten eine gleiche Kraft  $\frac{1}{2} P$  wirkt. Bei mehr Nietreihen tritt eine ungleiche Kraftverteilung ein, die jedoch durch das Nachgeben der das Loch nicht völlig ausfüllenden Niete, kleineren Reibungen der Bleche aufeinander und durch stärkere Zusammenpressungen der stärker beanspruchten Niete mehr oder minder gemildert wird.

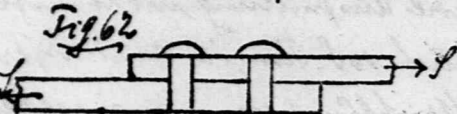
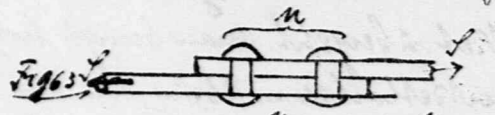


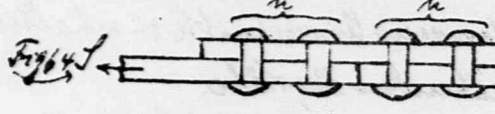
Fig. 62.

Günstig wirkt auch hier die früher erwähnte Dreiecksgruppierung der Niete, da hierbei die Halbgewichte annähernd proportional den in denselben wirkenden Kräften sind, somit über die ganze Länge der Verankerung ähnliche Dehnungen im besten Maße entstehen, falls sich die Kraft  $P$  gleichmäßig auf die Niete verteilt.

Stossverbindung von Blechen und Stabeisen.



Überplattung



Einsseitige Verlaschung



Doppelte Verlaschung

direkte  
Stossdeckung

Die Nietzahl ist bei vorstehenden Stossdeckungen nach den früheren Regeln zu berechnen, da es sich auch hier um Anmischung eines Stabes an einen andern handelt. Wenn möglich ist doppelte Verlaschung anzuwenden, um die Kraft  $P$  nicht aus ihrer Richtung abzurufen und Biegungen zu vermeiden. Ausserdem ist dieselbe meist billiger, weil sie weniger Niete (zweischrittige) erfordert. Einsseitige Verlaschung wird dann

angewandt, wenn für eine doppelte der Platz fehlt. Überplattungen werden meist nur bei Kesseln und Reservoirs ausgeführt. Bei Bau Konstruktionen sind sie möglichst zu vermeiden. Selbstverständlich müssen die Lastengrenzen nicht zu übertragenen Kraft entsprechen.

Indirekte Stossdeckung (verteilter Stoss) findet statt, wenn die Stossdeckung nicht direkt auf dem Stoss liegt, sondern durch dazwischenliegende Konstruktionsteile von demselben getrennt wird. (In nebenstehender Skizze  $m=2$ .)

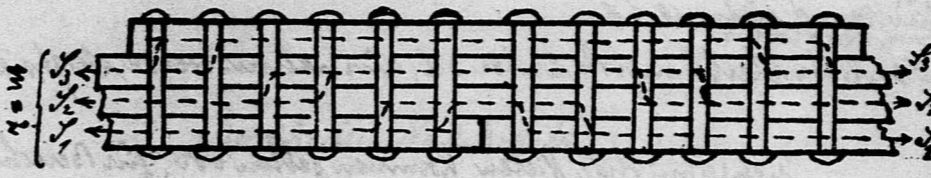


Fig. 66.

Da die in Zwischenplatten hintereinander in die Stosslasche  $l_2$  übergeführt werden, sieht man die bisher von der Nietreibung ab, so kann dies nur dadurch geschehen, dass successive die einzelnen Stabkräfte  $P$  von Platte zu Platte versetzt werden; unter Beanspruchung der Niete auf Abschieben (siehe punktierte Linien der Skizze!) Eine direkte Versetzung des inneren in die Stosslasche ist nicht möglich, da die Niete keinen Biegezugwiderstand, sondern nur Schubwiderstand leisten können. Für Versetzung der  $(m+1)$  Kräfte  $P$  sind aber  $(m+1) \cdot n$  Niete erforderlich, wenn  $n$  = Nietzahl bei direkter Stossdeckung. Es ist dies dieselbe Nietzahl, welche erforderlich wäre, wenn ausser Platte 1 auch die zwischenliegenden Platten im nebenstehender Weise gestossen wären, wobei jeweils die überstehende obere Platte als direkte Stossdeckung der darunterliegenden dienen würde. Da in Wirklichkeit jedoch die Verhältnisse günstiger liegen, weil nur eine Stossfuge vorhanden ist, und mit Rücksicht auf den günstigen Einfluss der Nietreibung begnügt man sich meist mit einer geringeren Nietzahl

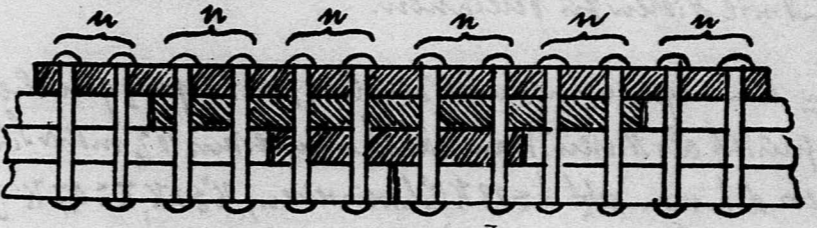


Fig. 66b.

$n_1 = ca. n \cdot (1 + 0,3m)$  (29)

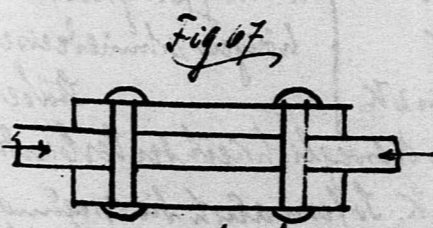


Fig. 67.

Bei Drucklasten könnte die Druckübertragung durch direkte Berührung der Stossflächen hergestellt werden; die Verlaschung würde dann nur zur Sicherung des Stosses gegen seitliche Kräfte dienen, und bedürfte dementsprechend nur wenig Niete. Da jedoch auf exakte Berührung der Stossflächen in prakt. nicht sicher gerechnet werden kann, so macht man in der Regel die Verlaschung stark genug zur Übertragung der vollen Druckes, und lässt höchstens beim verteilten Stoss eine noch weitere Reduktion der Nietzahl  $n_1$  zu. - Bei amerikanischen Brücken ist bisweilen die ganze Druckübertragung durch direkte Berührung bewerkstelligt.

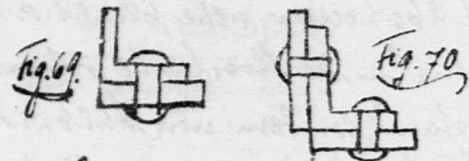
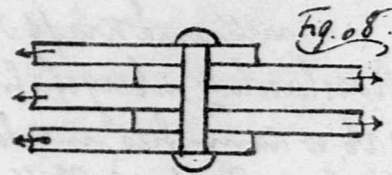
Die Laschen sind sehr kurz und dienen dann nur zur Sicherung gegen zufällige seitliche Kräfte. Die Zahl der Nieten wird dabei schätzungsweise angenommen.

Die Größe des Durchmesser  $d$  wird bei Brückenkonstruktionen in der Regel nach empirischen Formeln gewählt.

Häufig  $d = 2s$ , besser  $d = s+1$ , wo  $s$  die Blechstärke . . . . . (8a)

$s$  variiert im Brückenbau unter normalen Verhältnissen etwa zwischen 0,6 bis 2,0 cm,  $d$  von 1,6-3,0 cm. Für ein und dieselbe Brücke wendet man aus praktischen Gründen nur wenig Nietsorten an, deren Durchmesser den am häufigsten vorkommenden Eisenstäben  $s$  entsprechen.

Die Stapellänge des Nieten bleibt meist unter  $3d$ , ausnahmsweise steigt sie bis  $5d$ .



$s = 3-4$ mm	$d = 10$ mm	Nietteilung $s = 37$ mm (wassericht).
5-6 "	= 12 "	= 45 "
7-8 "	= 15 "	= 52 "

Konische Schrauben sind wie Nieten zu berechnen.

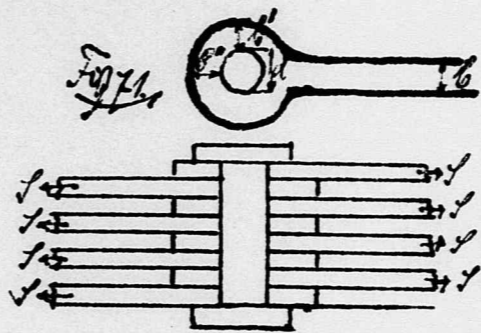
Gewöhnliche Schrauben sind wegen mangelnder Reibung, nicht ganz genauer Berührung etc. ungünstiger beansprucht als Nieten. Man wählt mindestens 10% mehr Schrauben als Nieten gleichen Durchmessers, d. h. man setzt  $A \approx 0,8 K$  (Schmiedeeisen),  $K' \approx 2K$ ,  $t \approx 0,7 K$  (Flusseisen).

Bei vertikallem Stoss ist die Schraubenzahl etwa  $n_1 = n(1+0,5m)$  bis  $n(1+m)$ .

Keile Schmiedeeisen  $A = 0,8 K$ ; Stahl  $t_1 = 1,2 K$ ;  $K' = 1,5-2 K$ . Berechnung der Keile nach den gleichen Grundsätzen wie die der Nieten bezugl. Gelenkbohlen.  $K'$  bedeutet hierbei die Zugspannung für Schmiedeeisen.

Gelenkbohlen:  
 Schmiedeeisen:  $A = 0,8 K$   
 Stahl:  $A_1 = 1,2 K$   
 Lochwand:  $K'' = K$  bis  $2 K$   
 }  $K =$  Zugfestigkeit der zugehörigen Schmiedeeisernen Stäbe.

Je nachdem man mehr oder weniger Wert auf die Beweglichkeit der Verbindung legt. Gewöhnlich liegt  $K''$  zwischen den Grenzen 1,2 bis 1,5  $K$ . Sofern auch die Biegezugfestigkeit des Bolzens in Betracht kommt, ist für Stahl  $K_1 = 1,5 K$  zu wählen.



Bei Bolzenängen soll sein nach Lankler:  
 $b' = \frac{1}{2} b + \frac{1}{3} d$ ;  $b'' = \frac{1}{2} b + \frac{2}{3} d$ .

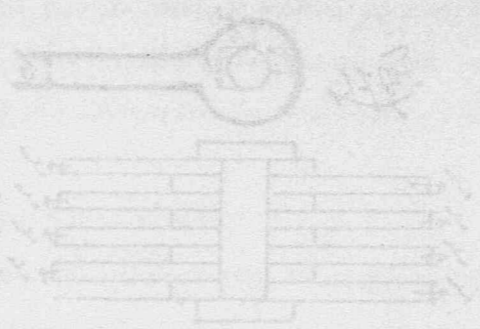
Bei guter Herstellung des Bolzes kann  $b'' = b$  gesetzt werden.

Bei Berechnung der Bolzen auf Biegung kann man zur Sicherheit annehmen, daß die belasteten Kräfte  $\frac{1}{2}$  jeweils in Halbmitte wirken.

Praktischer Nachdruck.

November 1907.

Die Befestigung ist eine einfache  
1. 1/2 m. 1/2 m. 1/2 m.  
2. Die Befestigung ist eine einfache  
3. Die Befestigung ist eine einfache  
4. Die Befestigung ist eine einfache



Die Befestigung ist eine einfache

Die Befestigung ist eine einfache



N11< 17270461 090

UB Karlsruhe